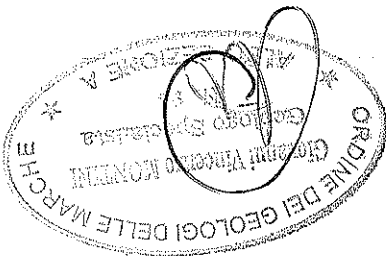


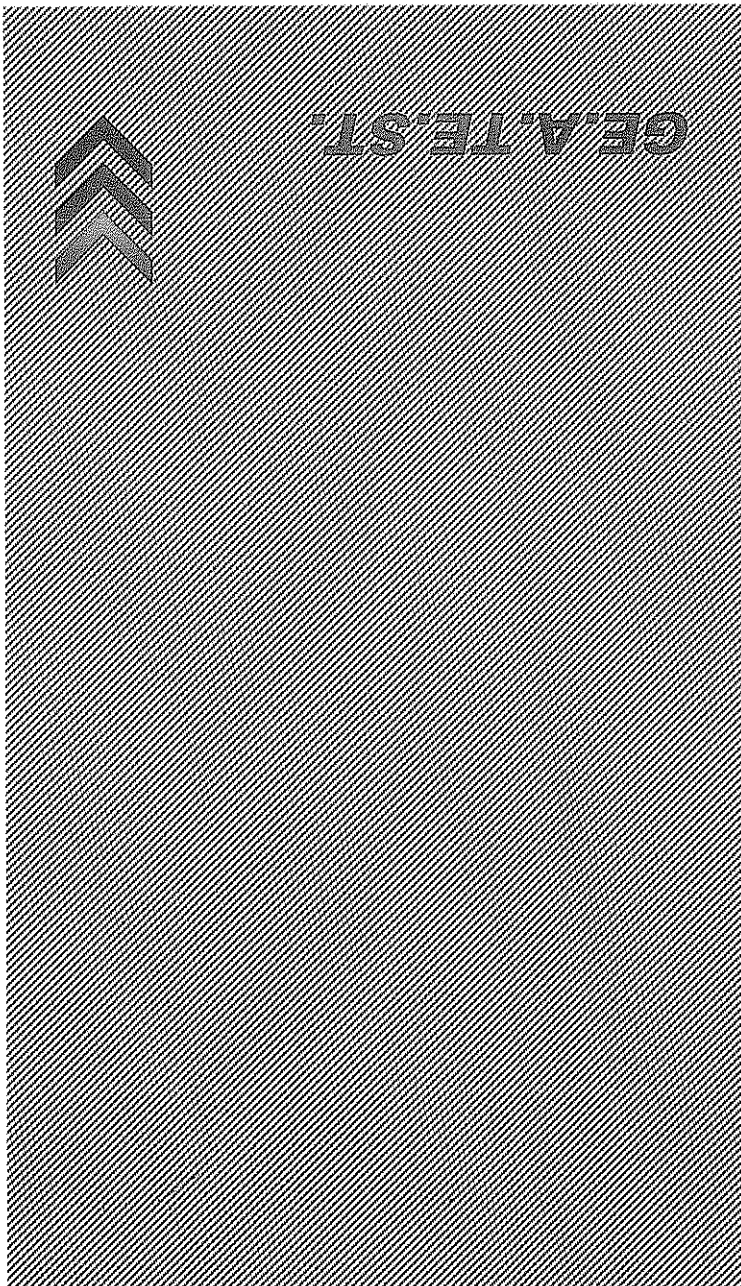
16 Novembre 2009



PIANO PARTECOLAREGGIATO  
LOC. CA' GUERRA

URBINO

COMUNE DI URBINO  
PROVINCIA DI PESARO e URBINO  
REGIONE MARCHE



Via Don Bramante 1/f, 10  
61030 Città di Castello (PG)  
tel. +39 075 332 38  
fax +39 075 388 57 45  
e-mail: [geotecnica@libero.it](mailto:geotecnica@libero.it)

uff. urbanistica  
DesBN:

Committente:  
Comune di Urbino  
Via Puccinotti n°3

ADOTTATO  
il Segretario Comunale  
Provincia di Pesaro e Urbino  
com delibera di n. 60 del 29.12.2009  
APPROVATO  
il Segretario Comunale  
Provincia di Pesaro e Urbino  
com delibera di n. 60 del 29.12.2009  
COMMUNE DI URBINO  
COMMUNE DI URBINO  
il Segretario Comunale  
Provincia di Pesaro e Urbino  
com delibera di n. 60 del 29.12.2009  
COMMUNE DI URBINO  
COMMUNE DI URBINO  
il Segretario Comunale  
Provincia di Pesaro e Urbino  
com delibera di n. 60 del 29.12.2009

1	1.0	Premessa	STABILITÀ	INDICE
2	1.3	Condizioni Sismiche		4
3	1.2	Parametri Geotecnici		4
4	2.0	Stabilità in condizioni ante operam		4
5	2.1	Rappresentazione grafica del metodo di Janbu (sezione d-d') - ante operam:		6
6	2.2	Rappresentazione grafica del metodo di Fellenius (sezione d-d') - ante operam:		14
7	2.3	Rappresentazione grafica del metodo di Bishop (sezione d-d') - ante operam:		22
8	3.0	Stabilità durante l'esecuzione del lavoro		31
9	4.0	Stabilità in condizioni post operam - sezione D-D'		33
10	4.1	Rappresentazione grafica del metodo di Janbu (sezione d-d') - post operam:		34
11	4.2	Rappresentazione grafica del metodo di Fellenius (sezione d-d') - post operam:		36
12	4.3	Rappresentazione grafica del metodo di Bishop (sezione d-d') - post operam:		38
13	5.1.1	Vерифика Stabilità Sbaracamento - posizione A		41
14	5.2	Vерифика Stabilità Sbaracamento "A" - Post Operam - Metodo di Janbu		43
15	5.3	Vерифика Stabilità Sbaracamento "A" - Post Operam - Metodo di Fellenius		45
16	5.4	Vерифика Stabilità Sbaracamento "A" - Post Operam - Metodo di Bishop		47
17	6.0	Vерифика Stabilità Sbaracamento - posizione B		49
18	6.1.1	Vерифика Stabilità Sbaracamento "B" - Post Operam - Metodo di Janbu		50
19	6.2	Vерифика Stabilità Sbaracamento "B" - Post Operam - Metodo di Fellenius		52
20	6.3	Vерифика Stabilità Sbaracamento "B" - Post Operam - Metodo di Bishop		54
21	7.0	Vерифика Stabilità Sbaracamento - posizione C		56
22	7.1.1	Vерифика Stabilità Sbaracamento "C" - Post Operam - Metodo di Janbu		57
23	7.2.2	Vерифика Stabilità Sbaracamento "C" - Post Operam - Metodo di Fellenius		59
24	7.3	Vерифика Stabilità Sbaracamento "C" - Post Operam - Metodo di Bishop		61
25	8.0	Modellata Esecutiva di Sbaracamento e Reporti		63
26	9.0	Vерифика Idraulica del Fosso Ricettore		63
27	10.0	Considerazioni conclusive		64

Il calcolo ha tenuto conto di un coefficiente sismico pari a 0,07 g.

### 1.3 CONDIZIONI SISMICHE

Il contributo della coesione ( $0,26 \text{ Kg/cm}^2$  - Valore basso) è stato considerato nel contesto della ipotesi restrittiva posta alla base del calcolo (l'orizzonte B è quello con i parametri maggiormente cautelativi)

1	Densità	1820	$\text{kg/m}^3$	Coesione	$0,26$	$\text{Kg/cm}^2$	Angeolo d'Attrito interno	18°	radi
2									
3									

I parametri geomecanici utilizzati sono:

A favore della sicurezza, il terreno è stato considerato appartenente unicamente all'Orizzonte B che sarà quello direttamente interessato dai movimenti terra.

### 1.2 PARAMETRI GEOMECANICI

- a) situazione ante operam
  - b) situazione durante i lavori (opere di spalleggiamento)
  - c) situazione post operam
- Le situazioni analizzate concernono:
- Si esaminano le condizioni di stabilità dell'area di lotizzazione denominata Ca' Guerra in Comune di Urbino.

### 1.1 VERIFICHE DI STABILITÀ

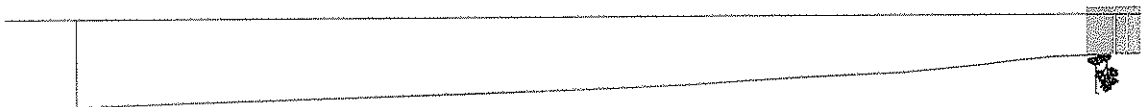
- Verifica idraulica del Fosso ricettore delle acque provenienti dall'area in studio.
- Modalità esecutiva del sbancamento e Rilporti.
- Verifiche di Stabilità.

Ufficio 4.2.2 Protezione del Territorio, Si integgia il nostro precedente elaborato, fornendo:

Come da Specifica Richiesta della Provincia di Pesaro e Urbino, Servizio Acque Pubbliche Rischio Idraulico e Sismico,

### 1.0 PREMESSA

Fig 1 - SEZIONE D-D'



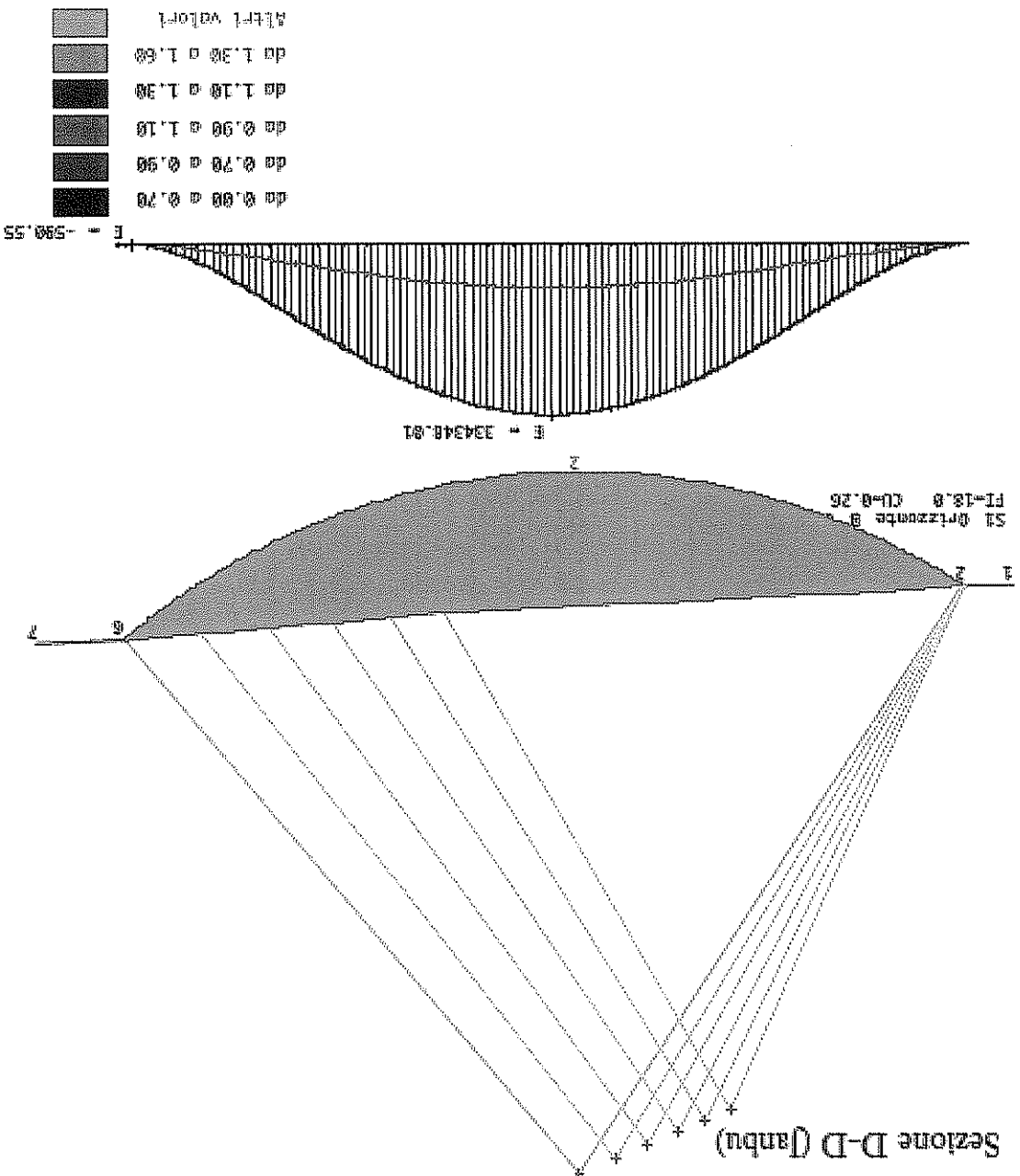
Si verifica la Sezione D-D', che è quella che rappresenta le condizioni maggiormente gravi ose

- Janbu  
- Fellinius  
- Bishop

Le metodologie di calcolo utilizzate sono fanno riferimento a:

## 2.0 STABILITA' IN CONDIZIONI ANTE OPERAM

DATI GENERALI					
UNITA DI MISURA UTILIZZATE: lunghezza: m pressione: kg/cm <sup>2</sup> peso specifico: kg/m <sup>3</sup> ; forza lineare: kg/m.					
Massima larghezza concreto di calcolo: 0.200 Prodotti dei coefficienti strutturali: 0.070 Coefficiente simmetrico verticale: 0.000 Coefficiente riduzione attrezzo: 1.000 Coefficiente riduzione coesione: 1.000 Coeff. ampiettific. carichi esercizi: 1.300 Coeff. carichi esercizi per silos: 1.000 Coeff. carichi esercizi per silos: 1.000					
COORDINATE DEI PROFILI					
profilo Nodo	X	Y	Z	CU	FI
Penultimo	4	0.000	0.000	0.000	0.000
Penultimo	3	6.000	0.000	0.000	0.000
Penultimo	2	6.000	0.000	0.000	0.000
Penultimo	1	0.000	0.000	0.000	0.000
CARATTERISTICHE DEGLI STRALI					
num	descrizione	lunghezza	Raggio	cu	fi
1	39.19	73.31	88.25	0.26	0.48
2	60.21	82.23	98.06	0.26	0.48
3	55.17	82.23	98.06	0.26	0.48
4	50.02	78.16	89.66	0.26	0.48
5	46.47	76.48	88.16	0.26	0.48
6	42.68	74.79	83.04	0.26	0.48
GEOMETRIA DEI CERCHI DI SCORRIMENTO					
num	x centro	y centro	raggio	cu	fi
1	0.260	1829.0	0.26	0.26	0.48



Si riportano i dati del cerchio critico che evidenzia un Coefficiente di Sicurezza:  $G_S = 3.913$

## 2.1 RAPPRESENTAZIONE GRAFICA DEL METODO DI JANBU (SEZIONE D-D') - ANTE OPERAM:

Comitato	Mitt.	L	CD	FI	M	Regg. cent.	M	Regg. mit.	M
<b>CERCHIO CRITICO N° 2</b>									
1	39.39	73.31	09.25	5.295	1				
2	39.31	73.31	09.25	5.295	1				
3	39.31	73.31	09.25	5.295	1				
4	39.31	73.31	09.25	5.295	1				
5	39.31	73.31	09.25	5.295	1				
6	42.88	74.79	03.04	4.985	1				
7	46.47	76.48	03.15	4.673	1				
8	50.62	78.15	03.65	4.385	1				
9	55.17	80.89	05.00	4.134	1				
10	59.21	82.23	06.85	3.913	1				
11	63.26	83.78	08.25	3.778	1				
12	67.46	85.27	09.25	3.648	1				
13	71.62	86.78	10.25	3.523	1				
14	75.78	88.29	11.25	3.403	1				
15	79.93	89.78	12.25	3.283	1				
16	84.08	91.29	13.25	3.163	1				
17	88.23	92.78	14.25	3.043	1				
18	92.38	94.27	15.25	2.923	1				
19	96.53	95.78	16.25	2.803	1				
20	100.68	96.23	17.25	2.683	1				
21	104.83	96.68	18.25	2.563	1				
22	109.98	97.13	19.25	2.443	1				
23	114.13	97.58	20.25	2.323	1				
24	118.28	98.03	21.25	2.203	1				
25	122.43	98.48	22.25	2.083	1				
26	126.58	98.93	23.25	1.963	1				
27	130.73	99.38	24.25	1.843	1				
28	134.88	99.83	25.25	1.723	1				
29	139.03	100.28	26.25	1.603	1				
30	143.18	100.73	27.25	1.483	1				
31	147.33	101.18	28.25	1.363	1				
32	151.48	101.63	29.25	1.243	1				
33	155.63	102.08	30.25	1.123	1				
34	159.78	102.53	31.25	1.003	1				
35	163.93	102.98	32.25	0.883	1				
36	168.08	103.43	33.25	0.763	1				
37	172.23	103.88	34.25	0.643	1				
38	176.38	104.33	35.25	0.523	1				
39	180.53	104.78	36.25	0.403	1				
40	184.68	105.23	37.25	0.283	1				
41	188.83	105.68	38.25	0.163	1				
42	193.98	106.13	39.25	0.043	1				

CALCIOLO effettuato con il metodo di Japonu  
RIFERIMENTO CERCHIO N° 2

## RISULTATI

num X centro Y centro Raggio r/a F set Centro

5	42.88	74.79	03.04	4.985	1
6	46.47	76.48	03.15	4.673	1
7	50.62	78.15	03.65	4.385	1
8	55.17	80.89	05.00	4.134	1
9	59.21	82.23	06.85	3.913	1
10	63.26	83.78	08.25	3.778	1
11	67.46	85.27	10.25	3.643	1
12	71.62	86.78	11.25	3.523	1
13	75.78	88.29	12.25	3.403	1
14	80.93	90.23	13.25	3.283	1
15	85.08	91.78	14.25	3.163	1
16	89.23	93.33	15.25	3.043	1
17	93.38	94.88	16.25	2.923	1
18	97.53	96.43	17.25	2.803	1
19	101.68	97.98	18.25	2.683	1
20	105.83	99.53	19.25	2.563	1
21	109.98	100.98	20.25	2.443	1
22	114.13	102.43	21.25	2.323	1
23	118.28	103.88	22.25	2.203	1
24	122.43	105.33	23.25	2.083	1
25	126.58	106.78	24.25	1.963	1
26	130.73	108.23	25.25	1.843	1
27	134.88	109.68	26.25	1.723	1
28	139.03	111.13	27.25	1.603	1
29	143.18	112.58	28.25	1.483	1
30	147.33	114.03	29.25	1.363	1
31	151.48	115.48	30.25	1.243	1
32	155.63	116.93	31.25	1.123	1
33	159.78	118.38	32.25	1.003	1
34	163.93	119.83	33.25	0.883	1
35	168.08	121.28	34.25	0.763	1
36	172.23	122.73	35.25	0.643	1
37	176.38	124.18	36.25	0.523	1
38	180.53	125.63	37.25	0.403	1
39	184.68	127.08	38.25	0.283	1
40	188.83	128.53	39.25	0.163	1
41	193.98	130.98	40.25	0.043	1



115	-15.78	0.243	0.250	15.8	5884.7	406.3	
116	-15.64	0.243	0.250	15.8	5837.6	408.6	
117	-15.58	0.243	0.250	15.8	5808.2	410.9	
118	-15.56	0.242	0.250	15.8	5822.6	413.2	
119	-15.52	0.242	0.250	15.8	5934.7	415.4	
120	-15.48	0.242	0.250	15.8	5906.5	417.7	
121	-15.43	0.242	0.250	15.8	5908.1	419.9	
122	-15.39	0.242	0.250	15.8	5909.5	422.1	
123	-15.35	0.242	0.250	15.8	6000.5	424.2	
124	-15.30	0.242	0.250	15.8	6241.4	426.4	
125	-15.27	0.242	0.250	15.8	6241.8	428.5	
126	-15.23	0.242	0.250	15.8	6242.2	430.6	
127	-15.19	0.242	0.250	15.8	6241.9	432.8	
128	-15.15	0.242	0.250	15.8	6242.1	434.2	
129	-15.08	0.242	0.250	15.8	6242.5	437.7	
130	-15.03	0.242	0.250	15.8	6243.0	440.4	
131	-14.99	0.242	0.250	15.8	6243.5	443.2	
132	-14.93	0.242	0.250	15.8	6243.9	445.9	
133	-14.88	0.242	0.250	15.8	6244.3	446.9	
134	-14.84	0.242	0.250	15.8	6244.6	448.8	
135	-14.79	0.242	0.250	15.8	6245.0	450.8	
136	-14.74	0.242	0.250	15.8	6245.3	452.7	
137	-14.69	0.242	0.250	15.8	6245.7	454.5	
138	-14.64	0.242	0.250	15.8	6246.1	456.3	
139	-14.59	0.242	0.250	15.8	6246.5	458.1	
140	-14.54	0.242	0.250	15.8	6246.9	459.9	
141	-14.49	0.242	0.250	15.8	6247.3	461.7	
142	-14.44	0.242	0.250	15.8	6247.7	463.5	
143	-14.39	0.242	0.250	15.8	6248.1	465.3	
144	-14.34	0.242	0.250	15.8	6248.5	467.1	
145	-14.29	0.242	0.250	15.8	6248.9	468.9	
146	-14.24	0.242	0.250	15.8	6249.3	470.7	
147	-14.19	0.242	0.250	15.8	6249.7	472.5	
148	-14.14	0.242	0.250	15.8	6250.1	474.3	
149	-14.09	0.242	0.250	15.8	6250.5	476.1	
150	-14.04	0.242	0.250	15.8	6250.9	477.9	
151	-13.99	0.242	0.250	15.8	6251.3	479.7	
152	-13.94	0.242	0.250	15.8	6251.7	481.5	
153	-13.89	0.242	0.250	15.8	6252.1	483.3	
154	-13.84	0.242	0.250	15.8	6252.5	485.1	
155	-13.79	0.242	0.250	15.8	6252.9	486.9	
156	-13.74	0.242	0.250	15.8	6253.3	488.7	
157	-13.69	0.242	0.250	15.8	6253.7	490.5	
158	-13.64	0.242	0.250	15.8	6254.1	492.3	
159	-13.59	0.242	0.250	15.8	6254.5	494.1	
160	-13.54	0.242	0.250	15.8	6254.9	495.9	
161	-13.49	0.242	0.250	15.8	6255.3	497.7	
162	-13.44	0.242	0.250	15.8	6255.7	499.5	
163	-13.39	0.242	0.250	15.8	6256.1	501.3	
164	-13.34	0.242	0.250	15.8	6256.5	503.1	
165	-13.29	0.242	0.250	15.8	6256.9	504.9	
166	-13.24	0.242	0.250	15.8	6257.3	506.7	
167	-13.19	0.242	0.250	15.8	6257.7	508.5	
168	-13.14	0.242	0.250	15.8	6258.1	510.3	
169	-13.09	0.242	0.250	15.8	6258.5	512.1	
170	-13.04	0.242	0.250	15.8	6258.9	513.9	
171	-12.99	0.242	0.250	15.8	6259.3	515.7	
172	-12.94	0.242	0.250	15.8	6259.7	517.5	
173	-12.89	0.242	0.250	15.8	6260.1	519.3	
174	-12.84	0.242	0.250	15.8	6260.5	521.1	
175	-12.79	0.242	0.250	15.8	6260.9	522.9	
176	-12.74	0.242	0.250	15.8	6261.3	524.7	
177	-12.69	0.242	0.250	15.8	6261.7	526.5	
178	-12.64	0.242	0.250	15.8	6262.1	528.3	
179	-12.59	0.242	0.250	15.8	6262.5	530.1	
180	-12.54	0.242	0.250	15.8	6262.9	531.9	
181	-12.49	0.242	0.250	15.8	6263.3	533.7	
182	-12.44	0.242	0.250	15.8	6263.7	535.5	
183	-12.39	0.242	0.250	15.8	6264.1	537.3	
184	-12.34	0.242	0.250	15.8	6264.5	539.1	
185	-12.29	0.242	0.250	15.8	6264.9	540.9	
186	-12.24	0.242	0.250	15.8	6265.3	542.7	
187	-12.19	0.242	0.250	15.8	6265.7	544.5	
188	-12.14	0.242	0.250	15.8	6266.1	546.3	
189	-12.09	0.242	0.250	15.8	6266.5	548.1	
190	-12.04	0.242	0.250	15.8	6266.9	549.9	
191	-11.99	0.242	0.250	15.8	6267.3	551.7	
192	-11.94	0.242	0.250	15.8	6267.7	553.5	
193	-11.89	0.242	0.250	15.8	6268.1	555.3	
194	-11.84	0.242	0.250	15.8	6268.5	557.1	
195	-11.79	0.242	0.250	15.8	6268.9	558.9	
196	-11.74	0.242	0.250	15.8	6269.3	560.7	
197	-11.69	0.242	0.250	15.8	6269.7	562.5	
198	-11.64	0.242	0.250	15.8	6270.1	564.3	
199	-11.59	0.242	0.250	15.8	6270.5	566.1	
200	-11.54	0.242	0.250	15.8	6270.9	567.9	
201	-11.49	0.242	0.250	15.8	6271.3	569.7	
202	-11.44	0.242	0.250	15.8	6271.7	571.5	
203	-11.39	0.242	0.250	15.8	6272.1	573.3	
204	-11.34	0.242	0.250	15.8	6272.5	575.1	
205	-11.29	0.242	0.250	15.8	6272.9	576.9	
206	-11.24	0.242	0.250	15.8	6273.3	578.7	
207	-11.19	0.242	0.250	15.8	6273.7	580.5	
208	-11.14	0.242	0.250	15.8	6274.1	582.3	
209	-11.09	0.242	0.250	15.8	6274.5	584.1	
210	-11.04	0.242	0.250	15.8	6274.9	585.9	
211	-10.99	0.242	0.250	15.8	6275.3	587.7	
212	-10.94	0.242	0.250	15.8	6275.7	589.5	
213	-10.89	0.242	0.250	15.8	6276.1	591.3	
214	-10.84	0.242	0.250	15.8	6276.5	593.1	
215	-10.79	0.242	0.250	15.8	6276.9	594.9	
216	-10.74	0.242	0.250	15.8	6277.3	596.7	
217	-10.69	0.242	0.250	15.8	6277.7	598.5	
218	-10.64	0.242	0.250	15.8	6278.1	600.3	
219	-10.59	0.242	0.250	15.8	6278.5	602.1	
220	-10.54	0.242	0.250	15.8	6278.9	603.9	
221	-10.49	0.242	0.250	15.8	6279.3	605.7	
222	-10.44	0.242	0.250	15.8	6279.7	607.5	
223	-10.39	0.242	0.250	15.8	6280.1	609.3	
224	-10.34	0.242	0.250	15.8	6280.5	611.1	
225	-10.29	0.242	0.250	15.8	6280.9	612.9	
226	-10.24	0.242	0.250	15.8	6281.3	614.7	
227	-10.19	0.242	0.250	15.8	6281.7	616.5	
228	-10.14	0.242	0.250	15.8	6282.1	618.3	
229	-10.09	0.242	0.250	15.8	6282.5	620.1	
230	-10.04	0.242	0.250	15.8	6282.9	621.9	
231	-0.242	0.242	0.250	15.8	6283.3	623.7	
232	-0.242	0.242	0.250	15.8	6283.7	625.5	
233	-0.242	0.242	0.250	15.8	6284.1	627.3	
234	-0.242	0.242	0.250	15.8	6284.5	629.1	
235	-0.242	0.242	0.250	15.8	6284.9	630.9	
236	-0.242	0.242	0.250	15.8	6285.3	632.7	
237	-0.242	0.242	0.250	15.8	6285.7	634.5	
238	-0.242	0.242	0.250	15.8	6286.1	636.3	
239	-0.242	0.242	0.250	15.8	6286.5	638.1	
240	-0.242	0.242	0.250	15.8	6286.9	639.9	
241	-0.242	0.242	0.250	15.8	6287.3	641.7	
242	-0.242	0.242	0.250	15.8	6287.7	643.5	
243	-0.242	0.242	0.250	15.8	6288.1	645.3	
244	-0.242	0.242	0.250	15.8	6288.5	647.1	
245	-0.242	0.242	0.250	15.8	6288.9	648.9	
246	-0.242	0.242	0.250	15.8	6289.3	650.7	
247	-0.242	0.242	0.250	15.8	6289.7	652.5	
248	-0.242	0.242	0.250	15.8	6290.1	654.3	
249	-0.242	0.242	0.250	15.8	6290.5	656.1	
250	-0.242	0.242	0.250	15.8	6290.9	657.9	
251	-0.242	0.242	0.250	15.8	6291.3	659.7	
252	-0.242	0.242	0.250	15.8	6291.7	661.5	
253	-0.242	0.242	0.250	15.8	6292.1	663.3	
254	-0.242	0.242	0.250	15.8	6292.5	665.1	
255	-0.242	0.242	0.250	15.8	6292.9	666.9	
256	-0.242	0.242	0.250				

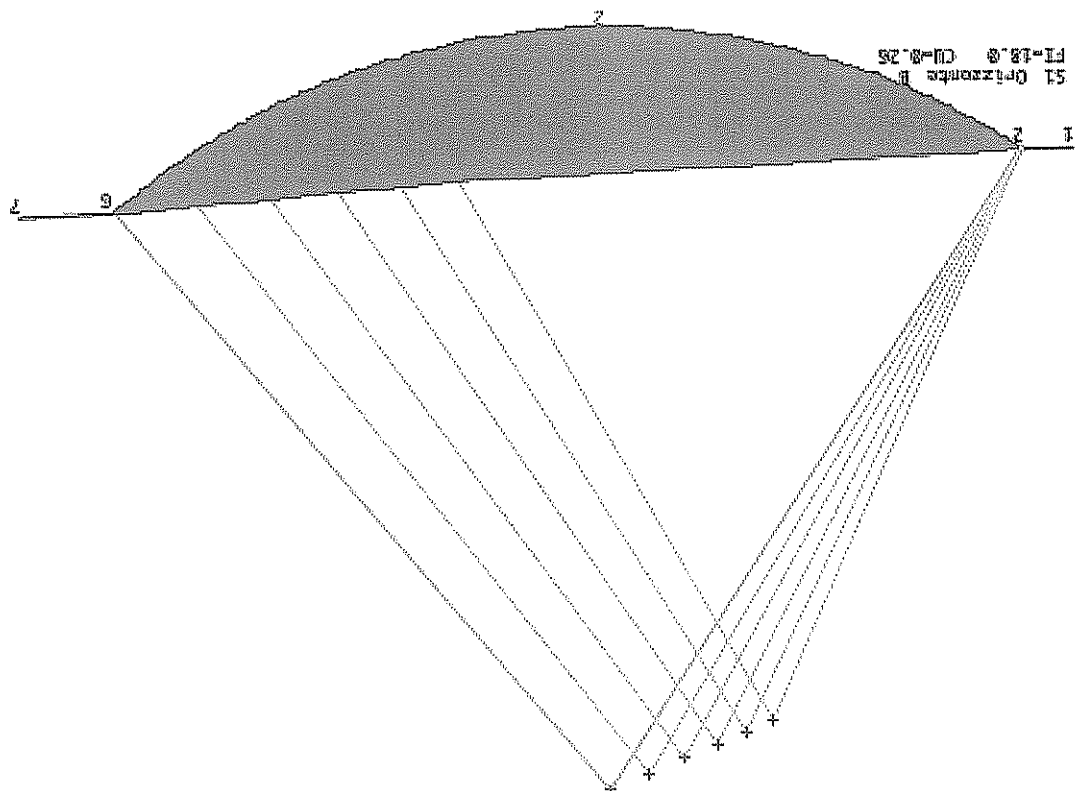


259	4.89	0.234	0.268	18.8	7945.4	556.2
260	4.23	0.234	0.268	18.8	7942.5	556.8
261	4.37	0.235	0.268	18.8	7909.3	556.8
262	4.58	0.235	0.268	18.8	7905.9	556.5
263	4.64	0.235	0.268	18.8	7902.3	556.3
264	4.78	0.235	0.268	18.8	7908.5	556.8
265	4.91	0.235	0.268	18.8	7904.3	556.7
266	5.05	0.235	0.268	18.8	7908.0	556.4
267	5.19	0.235	0.268	18.8	7905.4	556.1
268	5.33	0.235	0.268	18.8	7908.6	556.7
269	5.46	0.235	0.268	18.8	7905.5	556.4
270	5.60	0.235	0.268	18.8	7906.2	556.6
271	5.74	0.235	0.268	18.8	7904.7	556.5
272	5.87	0.235	0.268	18.8	7905.9	556.9
273	6.01	0.235	0.268	18.8	7902.8	556.3
274	6.15	0.235	0.268	18.8	7908.6	556.4
275	6.29	0.235	0.268	18.8	7904.9	556.9
276	6.42	0.235	0.268	18.8	7905.3	556.4
277	6.56	0.235	0.268	18.8	7905.9	556.7
278	6.70	0.235	0.268	18.8	7908.0	556.9
279	6.84	0.235	0.268	18.8	7904.6	556.4
280	6.98	0.235	0.268	18.8	7905.8	556.8
281	7.11	0.235	0.268	18.8	7908.0	556.9
282	7.25	0.235	0.268	18.8	7904.2	556.4
283	7.39	0.235	0.268	18.8	7905.6	556.6
284	7.53	0.235	0.268	18.8	7908.5	556.8
285	7.66	0.235	0.268	18.8	7904.5	556.3
286	7.80	0.235	0.268	18.8	7905.2	556.7
287	7.94	0.235	0.268	18.8	7908.8	556.1
288	8.08	0.235	0.268	18.8	7907.1	556.5
289	8.22	0.235	0.268	18.8	7907.2	556.4
290	8.36	0.235	0.268	18.8	7907.3	556.5
291	8.50	0.235	0.268	18.8	7907.4	556.6
292	8.63	0.235	0.268	18.8	7907.5	556.5
293	8.77	0.235	0.268	18.8	7907.6	556.7
294	8.91	0.235	0.268	18.8	7907.7	556.8
295	9.05	0.235	0.268	18.8	7907.8	556.9
296	9.19	0.235	0.268	18.8	7907.9	556.8
297	9.33	0.235	0.268	18.8	7908.0	556.7
298	9.46	0.235	0.268	18.8	7908.1	556.8
299	9.60	0.235	0.268	18.8	7908.2	556.9
300	9.74	0.235	0.268	18.8	7908.3	556.7
301	9.87	0.235	0.268	18.8	7908.4	556.8
302	10.01	0.235	0.268	18.8	7908.5	556.9
303	10.15	0.235	0.268	18.8	7908.6	556.7
304	10.29	0.235	0.268	18.8	7908.7	556.8
305	10.43	0.235	0.268	18.8	7908.8	556.9
306	10.57	0.235	0.268	18.8	7908.9	556.7
307	10.71	0.235	0.268	18.8	7909.0	556.8
308	10.85	0.235	0.268	18.8	7909.1	556.9
309	10.99	0.235	0.268	18.8	7909.2	556.7
310	11.13	0.235	0.268	18.8	7909.3	556.8
311	11.27	0.235	0.268	18.8	7909.4	556.6
312	11.41	0.235	0.268	18.8	7909.5	556.7
313	11.54	0.235	0.268	18.8	7909.6	556.8
314	11.68	0.235	0.268	18.8	7909.7	556.6
315	11.82	0.235	0.268	18.8	7909.8	556.7
316	11.96	0.235	0.268	18.8	7909.9	556.8
317	12.10	0.235	0.268	18.8	7910.0	556.6
318	12.24	0.235	0.268	18.8	7910.1	556.7
319	12.38	0.235	0.268	18.8	7910.2	556.8
320	12.52	0.235	0.268	18.8	7910.3	556.6
321	12.66	0.235	0.268	18.8	7910.4	556.7
322	12.80	0.235	0.268	18.8	7910.5	556.8
323	12.94	0.235	0.268	18.8	7910.6	556.6
324	13.08	0.235	0.268	18.8	7910.7	556.7
325	13.22	0.235	0.268	18.8	7910.8	556.8
326	13.36	0.235	0.268	18.8	7910.9	556.6
327	13.50	0.235	0.268	18.8	7911.0	556.7
328	13.64	0.235	0.268	18.8	7911.1	556.8
329	13.78	0.235	0.268	18.8	7911.2	556.6
330	13.92	0.235	0.268	18.8	7911.3	556.7





Altezza m.s.m.
da 1.380 a 1.680
da 1.110 a 1.380
da 0.190 a 1.110
da 0.170 a 0.190
da 0.180 a 0.200



CARATTERISTICHE DEGLI STRATI					
Num	Nome	Descrizione	Spessore	GR	FE
1	Strato B	1828,00	0,26	18,00	0,18

Coefficiente di sicurezza minima = 3,570

Si riportano i dati del cerchio critico che evidenzia un Coefficiente di Sicurezza:  $G_s = 3,570$

2.2 RAPPRESENTAZIONE GRAFICA DEL METODO DI FELLENIUS (SEZIONE-D-D') - ANTE OPERAM:





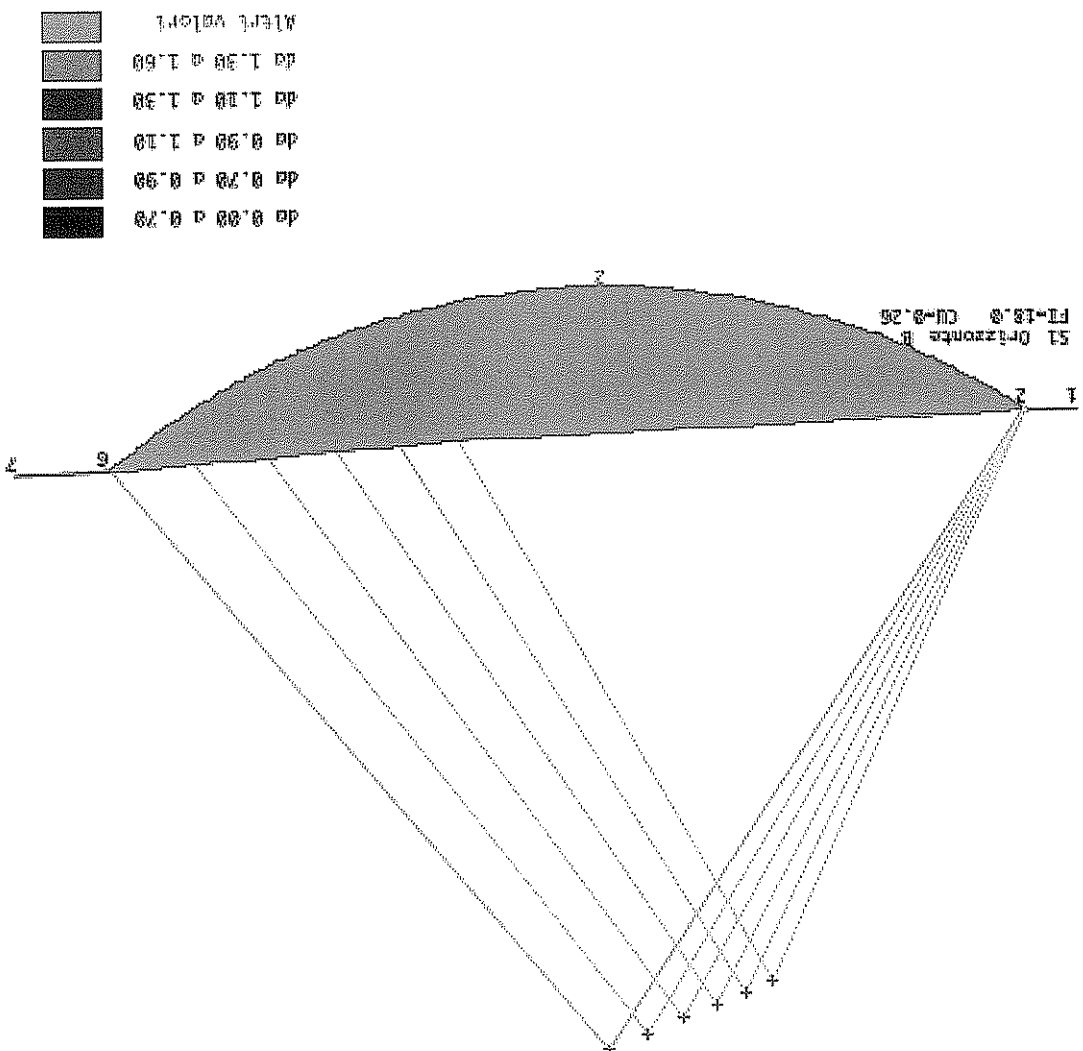






335	34,63	0,242	0,260	0,283,3	18,8	7122,4	582,1
336	34,77	0,242	0,260	0,283,7	18,8	7154,7	580,8
337	34,91	0,242	0,260	0,283,1	18,8	7156,7	499,6
338	35,05	0,242	0,260	0,283,6	18,8	7158,5	498,3
339	35,19	0,242	0,260	0,283,0	18,8	7159,8	497,8
340	35,34	0,242	0,260	0,283,4	18,8	7160,4	495,7
341	35,48	0,242	0,260	0,283,8	18,8	7161,3	494,4
342	35,62	0,242	0,260	0,283,5	18,8	7162,3	493,8
343	35,76	0,242	0,260	0,283,7	18,8	7163,5	491,6
344	35,90	0,242	0,260	0,283,1	18,8	7164,0	490,8
345	36,05	0,242	0,260	0,283,5	18,8	7165,6	489,3
346	36,19	0,242	0,260	0,283,9	18,8	7166,3	488,9
347	36,34	0,242	0,260	0,284,4	18,8	7167,6	487,4
348	36,48	0,242	0,260	0,284,8	18,8	7168,0	486,8
349	36,62	0,242	0,260	0,285,2	18,8	7169,5	485,3
350	36,76	0,242	0,260	0,285,6	18,8	7170,8	484,5
351	36,90	0,242	0,260	0,286,0	18,8	7171,3	483,8
352	37,04	0,242	0,260	0,286,4	18,8	7172,6	482,6
353	37,19	0,242	0,260	0,286,8	18,8	7173,4	481,9
354	37,33	0,242	0,260	0,287,2	18,8	7174,7	480,5
355	37,47	0,242	0,260	0,287,6	18,8	7175,9	479,3
356	37,62	0,242	0,260	0,288,0	18,8	7176,3	478,2
357	37,76	0,242	0,260	0,288,4	18,8	7177,4	477,2
358	37,90	0,242	0,260	0,288,8	18,8	7178,8	476,5
359	38,05	0,242	0,260	0,289,2	18,8	7179,2	475,9
360	38,19	0,242	0,260	0,289,6	18,8	7180,6	475,3
361	38,34	0,242	0,260	0,289,9	18,8	7181,3	474,7
362	38,48	0,242	0,260	0,290,3	18,8	7182,6	473,4
363	38,62	0,242	0,260	0,290,7	18,8	7183,9	472,2
364	38,76	0,242	0,260	0,291,1	18,8	7185,2	471,8
365	38,90	0,242	0,260	0,291,5	18,8	7186,5	470,5
366	39,05	0,242	0,260	0,291,9	18,8	7187,8	469,3
367	39,19	0,242	0,260	0,292,3	18,8	7189,1	468,0
368	39,34	0,242	0,260	0,292,6	18,8	7190,4	466,7
369	39,48	0,242	0,260	0,293,0	18,8	7191,7	465,4
370	39,62	0,242	0,260	0,293,3	18,8	7193,0	464,1
371	39,76	0,242	0,260	0,293,7	18,8	7194,3	462,8
372	39,90	0,242	0,260	0,294,1	18,8	7195,6	461,5
373	39,10	0,242	0,260	0,294,5	18,8	7196,9	460,2
374	39,24	0,242	0,260	0,294,9	18,8	7198,2	458,9
375	39,38	0,242	0,260	0,295,3	18,8	7199,5	457,6
376	39,52	0,242	0,260	0,295,6	18,8	7200,8	456,3
377	39,66	0,242	0,260	0,296,0	18,8	7202,1	455,0
378	39,80	0,242	0,260	0,296,4	18,8	7203,4	453,7
379	39,94	0,242	0,260	0,296,8	18,8	7204,7	452,4
380	40,08	0,242	0,260	0,297,1	18,8	7206,0	451,1
381	40,22	0,242	0,260	0,297,5	18,8	7207,3	449,8
382	40,36	0,242	0,260	0,297,8	18,8	7208,6	448,5
383	40,50	0,242	0,260	0,298,2	18,8	7209,9	447,2
384	40,64	0,242	0,260	0,298,5	18,8	7211,2	445,9
385	40,78	0,242	0,260	0,298,9	18,8	7212,5	444,6
386	40,92	0,242	0,260	0,299,2	18,8	7213,8	443,3
387	41,06	0,242	0,260	0,299,6	18,8	7215,1	442,0
388	41,20	0,242	0,260	0,299,9	18,8	7216,4	440,7
389	41,34	0,242	0,260	0,300,3	18,8	7217,7	439,4
390	41,48	0,242	0,260	0,300,6	18,8	7219,0	438,1
391	41,62	0,242	0,260	0,300,9	18,8	7220,3	436,8
392	41,76	0,242	0,260	0,301,2	18,8	7221,6	435,5
393	41,90	0,242	0,260	0,301,5	18,8	7222,9	434,2
394	42,04	0,242	0,260	0,301,8	18,8	7224,2	432,9
395	42,18	0,242	0,260	0,302,1	18,8	7225,5	431,6
396	42,32	0,242	0,260	0,302,4	18,8	7226,8	430,3
397	42,46	0,242	0,260	0,302,7	18,8	7228,1	429,0
398	42,60	0,242	0,260	0,303,0	18,8	7229,4	427,7
399	42,74	0,242	0,260	0,303,3	18,8	7230,7	426,4
400	42,88	0,242	0,260	0,303,6	18,8	7232,0	425,1
401	43,02	0,242	0,260	0,303,9	18,8	7233,3	423,8
402	43,16	0,242	0,260	0,304,2	18,8	7234,6	422,5
403	43,30	0,242	0,260	0,304,5	18,8	7235,9	421,2
404	43,44	0,242	0,260	0,304,8	18,8	7237,2	419,9
405	43,58	0,242	0,260	0,305,1	18,8	7238,5	418,6
406	43,72	0,242	0,260	0,305,4	18,8	7239,8	417,3

407	25.10	0.258	0.260	691.4	38.8	5189.6	363.3	
408	25.25	0.259	0.260	692.2	38.8	5193.3	360.6	
409	25.40	0.259	0.260	693.0	38.8	5197.6	357.9	
410	25.55	0.259	0.260	693.9	38.8	5201.6	355.2	
411	25.71	0.259	0.260	694.9	38.8	5205.3	352.4	
412	25.86	0.260	0.260	695.5	38.8	5209.6	349.6	
413	25.91	0.260	0.260	695.5	38.8	5209.6	349.6	
414	25.95	0.260	0.260	695.7	38.8	5214.3	341.2	
415	26.02	0.261	0.260	695.7	38.8	5214.7	341.2	
416	26.07	0.261	0.260	695.8	38.8	5218.7	338.3	
417	26.22	0.262	0.260	695.8	38.8	5220.4	335.4	
418	26.27	0.262	0.260	695.9	38.8	5222.5	332.5	
419	26.32	0.262	0.260	695.9	38.8	5224.6	330.6	
420	26.37	0.262	0.260	696.0	38.8	5226.7	328.7	
421	26.42	0.262	0.260	696.0	38.8	5228.8	326.8	
422	26.47	0.262	0.260	696.0	38.8	5230.9	325.0	
423	26.52	0.262	0.260	696.0	38.8	5233.1	323.1	
424	26.57	0.262	0.260	696.0	38.8	5235.2	321.2	
425	26.62	0.262	0.260	696.0	38.8	5237.3	319.3	
426	26.67	0.262	0.260	696.0	38.8	5239.4	317.4	
427	26.72	0.262	0.260	696.0	38.8	5241.5	315.5	
428	26.77	0.262	0.260	696.0	38.8	5243.6	313.6	
429	26.82	0.262	0.260	696.0	38.8	5245.7	311.7	
430	26.87	0.262	0.260	696.0	38.8	5247.8	309.8	
431	26.92	0.262	0.260	696.0	38.8	5249.9	307.9	
432	26.97	0.262	0.260	696.0	38.8	5252.0	306.0	
433	27.02	0.262	0.260	696.0	38.8	5254.1	304.1	
434	27.07	0.262	0.260	696.0	38.8	5256.2	302.2	
435	27.12	0.262	0.260	696.0	38.8	5258.3	300.3	
436	27.17	0.262	0.260	696.0	38.8	5260.4	298.4	
437	27.22	0.262	0.260	696.0	38.8	5262.5	296.5	
438	27.27	0.262	0.260	696.0	38.8	5264.6	294.6	
439	27.32	0.262	0.260	696.0	38.8	5266.7	292.7	
440	27.37	0.262	0.260	696.0	38.8	5268.8	290.8	
441	27.42	0.262	0.260	696.0	38.8	5270.9	288.9	
442	27.47	0.262	0.260	696.0	38.8	5273.0	287.0	
443	27.52	0.262	0.260	696.0	38.8	5275.1	285.1	
444	27.57	0.262	0.260	696.0	38.8	5277.2	283.2	
445	27.62	0.262	0.260	696.0	38.8	5279.3	281.3	
446	27.67	0.262	0.260	696.0	38.8	5281.4	279.4	
447	27.72	0.262	0.260	696.0	38.8	5283.5	277.5	
448	27.77	0.262	0.260	696.0	38.8	5285.6	275.6	
449	27.82	0.262	0.260	696.0	38.8	5287.7	273.7	
450	27.87	0.262	0.260	696.0	38.8	5289.8	271.8	
451	27.92	0.262	0.260	696.0	38.8	5291.9	269.9	
452	27.97	0.262	0.260	696.0	38.8	5294.0	268.0	
453	28.02	0.262	0.260	696.0	38.8	5296.1	266.1	
454	28.07	0.262	0.260	696.0	38.8	5298.2	264.2	
455	28.12	0.262	0.260	696.0	38.8	5300.3	262.3	
456	28.17	0.262	0.260	696.0	38.8	5302.4	260.4	
457	28.22	0.262	0.260	696.0	38.8	5304.5	258.5	
458	28.27	0.262	0.260	696.0	38.8	5306.6	256.6	
459	28.32	0.262	0.260	696.0	38.8	5308.7	254.7	
460	28.37	0.262	0.260	696.0	38.8	5310.8	252.8	
461	28.42	0.262	0.260	696.0	38.8	5312.9	250.9	
462	28.47	0.262	0.260	696.0	38.8	5315.0	249.0	
463	28.52	0.262	0.260	696.0	38.8	5317.1	247.1	
464	28.57	0.262	0.260	696.0	38.8	5319.2	245.2	
465	28.62	0.262	0.260	696.0	38.8	5321.3	243.3	
466	28.67	0.262	0.260	696.0	38.8	5323.4	241.4	
467	28.72	0.262	0.260	696.0	38.8	5325.5	239.5	
468	28.77	0.262	0.260	696.0	38.8	5327.6	237.6	
469	28.82	0.262	0.260	696.0	38.8	5329.7	235.7	
470	28.87	0.262	0.260	696.0	38.8	5331.8	233.8	
471	28.92	0.262	0.260	696.0	38.8	5333.9	231.9	
472	28.97	0.262	0.260	696.0	38.8	5336.0	230.0	
473	29.02	0.262	0.260	696.0	38.8	5338.1	228.1	
474	29.07	0.262	0.260	696.0	38.8	5340.2	226.2	
475	29.12	0.262	0.260	696.0	38.8	5342.3	224.3	
476	29.17	0.262	0.260	696.0	38.8	5344.4	222.4	
477	29.22	0.262	0.260	696.0	38.8	5346.5	220.5	
478	29.27	0.262	0.260	696.0	38.8	5348.6	218.6	
479	29.32	0.262	0.260	696.0	38.8	5350.7	216.7	
480	29.37	0.262	0.260	696.0	38.8	5352.8	214.8	
481	29.42	0.262	0.260	696.0	38.8	5354.9	212.9	
482	29.47	0.262	0.260	696.0	38.8	5357.0	211.0	
483	29.52	0.262	0.260	696.0	38.8	5359.1	209.1	
484	29.57	0.262	0.260	696.0	38.8	5361.2	207.2	
485	29.62	0.262	0.260	696.0	38.8	5363.3	205.3	
486	29.67	0.262	0.260	696.0	38.8	5365.4	203.4	
487	29.72	0.262	0.260	696.0	38.8	5367.5	201.5	
488	29.77	0.262	0.260	696.0	38.8	5369.6	199.6	
489	29.82	0.262	0.260	696.0	38.8	5371.7	197.7	
490	29.87	0.262	0.260	696.0	38.8	5373.8	195.8	
491	29.92	0.262	0.260	696.0	38.8	5375.9	193.9	
492	29.97	0.262	0.260	696.0	38.8	5378.0	192.0	
493	30.02	0.262	0.260	696.0	38.8	5380.1	190.1	
494	30.07	0.262	0.260	696.0	38.8	5382.2	188.2	
495	30.12	0.262	0.260	696.0	38.8	5384.3	186.3	
496	30.17	0.262	0.260	696.0	38.8	5386.4	184.4	
497	30.22	0.262	0.260	696.0	38.8	5388.5	182.5	
498	30.27	0.262	0.260	696.0	38.8	5390.6	180.6	
499	30.32	0.262	0.260	696.0	38.8	5392.7	178.7	
500	30.37	0.262	0.260	696.0	38.8	5394.8	176.8	
501	30.42	0.262	0.260	696.0	38.8	5396.9	174.9	
502	30.47	0.262	0.260	696.0	38.8	5399.0	173.0	
503	30.52	0.262	0.260	696.0	38.8	5401.1	171.1	
504	30.57	0.262	0.260	696.0	38.8	5403.2	169.2	
505	30.62	0.262	0.260	696.0	38.8	5405.3	167.3	
506	30.67	0.262	0.260	696.0	38.8	5407.4	165.4	
507	30.72	0.262	0.260	696.0	38.8	5409.5	163.5	
508	30.77	0.262	0.260	696.0	38.8	5411.6	161.6	
509	30.82	0.262	0.260	696.0	38.8	5413.7	159.7	
510	30.87	0.262	0.260	696.0	38.8	5415.8	157.8	
511	30.92	0.262	0.260	696.0	38.8	5417.9	155.9	
512	30.97	0.262	0.260	696.0	38.8	5419.0	154.0	
513	31.02	0.262	0.260	696.0	38.8	5421.1	152.1	
514	31.07	0.262	0.260	696.0	38.8	5423.2	150.2	
515	31.12	0.262	0.260	696.0	38.8	5425.3	148.3	
516	31.17	0.262	0.260	696.0	38.8	5427.4	146.4	
517	31.22	0.262	0.260	696.0	38.8	5429.5	144.5	
518	31.27	0.262	0.260	696.0	38.8	5431.6	142.6	
519	31.32	0.262	0.260	696.0	38.8	5433.7	140.7	
520	31.37	0.262	0.260	696.0	38.8	5435.8	138.8	
521	31.42	0.262	0.260	696.0	38.8	5437.9	136.9	
522	31.47	0.262	0.260	696.0	38.8	5439.0	135.0	
523	31.52	0.262	0.260	696.0	38.8	5441.1	133.1	
524	31.57	0.262	0.260	696.0	38.8	5443.2	131.2	
525	31.62	0.262	0.260	696.0	38.8	5445.3	129.3	
526	31.67	0.262	0.260	696.0	38.8	5447.4	127.4	
527	31.72	0.262	0.260	696.0	38.8	5449.5	125.5	
528	31.77	0.262	0.260	696.0	38.8	5451.6	123.6	
529	31.82	0.262	0.260	696.0	38.8	5453.7	121.7	
530	31.87	0.262	0.260	696.0	38.8	5455.8	119.8	
531	31.92	0.262	0.260	696.0	38.8	5457.9	117.9	
532								



Si riportano i dati del cerchio critico che evidenzia un Coefficiente di Sicurezza:  $G_s = 3,701$

2.3 RAPPRESENTAZIONE GRAFICA DEL METODO DI BISHOP (SEZIONE D-D') - ANTE OPERA:

Cennello	Alt.	L	CD	FI	W	WS	Risultato	
							Raggio	raggio
<b>CERCHIO CINTURA N° 2</b>								
1	39.19	0.219	0.218	18.0	35.6	2.5		
2	38.21	0.211	0.211	18.0	35.5	2.5		
3	35.17	0.209	0.209	18.0	35.5	2.5		
4	32.23	0.207	0.207	18.0	35.5	2.5		
5	30.26	0.205	0.205	18.0	35.5	2.5		
6	28.32	0.203	0.203	18.0	35.5	2.5		
7	26.47	0.201	0.201	18.0	35.5	2.5		
8	24.62	0.199	0.199	18.0	35.5	2.5		
9	22.77	0.197	0.197	18.0	35.5	2.5		
10	20.92	0.195	0.195	18.0	35.5	2.5		
11	19.07	0.193	0.193	18.0	35.5	2.5		
12	17.22	0.191	0.191	18.0	35.5	2.5		
13	15.37	0.189	0.189	18.0	35.5	2.5		
14	13.52	0.187	0.187	18.0	35.5	2.5		
15	11.67	0.185	0.185	18.0	35.5	2.5		
16	9.82	0.183	0.183	18.0	35.5	2.5		
17	8.97	0.181	0.181	18.0	35.5	2.5		
18	7.12	0.179	0.179	18.0	35.5	2.5		
19	6.27	0.177	0.177	18.0	35.5	2.5		
20	5.42	0.175	0.175	18.0	35.5	2.5		
21	4.57	0.173	0.173	18.0	35.5	2.5		
22	3.72	0.171	0.171	18.0	35.5	2.5		
23	2.87	0.169	0.169	18.0	35.5	2.5		
24	2.02	0.167	0.167	18.0	35.5	2.5		
25	1.17	0.165	0.165	18.0	35.5	2.5		
26	0.32	0.163	0.163	18.0	35.5	2.5		
27	-0.45	0.161	0.161	18.0	35.5	2.5		
28	-1.30	0.159	0.159	18.0	35.5	2.5		
29	-2.15	0.157	0.157	18.0	35.5	2.5		
30	-2.99	0.155	0.155	18.0	35.5	2.5		
31	-3.84	0.153	0.153	18.0	35.5	2.5		
32	-4.69	0.151	0.151	18.0	35.5	2.5		
33	-5.53	0.149	0.149	18.0	35.5	2.5		
34	-6.38	0.147	0.147	18.0	35.5	2.5		
35	-7.23	0.145	0.145	18.0	35.5	2.5		
36	-8.07	0.143	0.143	18.0	35.5	2.5		
37	-8.92	0.141	0.141	18.0	35.5	2.5		
38	-9.76	0.139	0.139	18.0	35.5	2.5		
39	-10.61	0.137	0.137	18.0	35.5	2.5		
40	-11.45	0.135	0.135	18.0	35.5	2.5		
41	-12.29	0.133	0.133	18.0	35.5	2.5		
42	-13.14	0.131	0.131	18.0	35.5	2.5		
43	-13.98	0.129	0.129	18.0	35.5	2.5		
44	-14.83	0.127	0.127	18.0	35.5	2.5		
45	-15.67	0.125	0.125	18.0	35.5	2.5		
46	-16.51	0.123	0.123	18.0	35.5	2.5		
47	-17.35	0.121	0.121	18.0	35.5	2.5		
48	-18.19	0.119	0.119	18.0	35.5	2.5		
49	-19.03	0.117	0.117	18.0	35.5	2.5		
50	-19.87	0.115	0.115	18.0	35.5	2.5		
51	-20.71	0.113	0.113	18.0	35.5	2.5		
52	-21.55	0.111	0.111	18.0	35.5	2.5		
53	-22.39	0.109	0.109	18.0	35.5	2.5		
54	-23.23	0.107	0.107	18.0	35.5	2.5		
55	-24.07	0.105	0.105	18.0	35.5	2.5		
56	-24.91	0.103	0.103	18.0	35.5	2.5		
57	-25.75	0.101	0.101	18.0	35.5	2.5		
58	-26.59	0.099	0.099	18.0	35.5	2.5		
59	-27.43	0.097	0.097	18.0	35.5	2.5		
60	-28.27	0.095	0.095	18.0	35.5	2.5		
61	-29.11	0.093	0.093	18.0	35.5	2.5		
62	-29.95	0.091	0.091	18.0	35.5	2.5		
63	-30.79	0.089	0.089	18.0	35.5	2.5		
64	-31.63	0.087	0.087	18.0	35.5	2.5		
65	-32.47	0.085	0.085	18.0	35.5	2.5		
66	-33.31	0.083	0.083	18.0	35.5	2.5		
67	-34.15	0.081	0.081	18.0	35.5	2.5		
68	-34.99	0.079	0.079	18.0	35.5	2.5		
69	-35.83	0.077	0.077	18.0	35.5	2.5		
70	-36.67	0.075	0.075	18.0	35.5	2.5		
71	-37.51	0.073	0.073	18.0	35.5	2.5		
72	-38.35	0.071	0.071	18.0	35.5	2.5		
73	-39.19	0.069	0.069	18.0	35.5	2.5		
74	-40.03	0.067	0.067	18.0	35.5	2.5		
75	-40.87	0.065	0.065	18.0	35.5	2.5		
76	-41.71	0.063	0.063	18.0	35.5	2.5		
77	-42.55	0.061	0.061	18.0	35.5	2.5		
78	-43.39	0.059	0.059	18.0	35.5	2.5		
79	-44.23	0.057	0.057	18.0	35.5	2.5		
80	-45.07	0.055	0.055	18.0	35.5	2.5		
81	-45.91	0.053	0.053	18.0	35.5	2.5		
82	-46.75	0.051	0.051	18.0	35.5	2.5		
83	-47.59	0.049	0.049	18.0	35.5	2.5		
84	-48.43	0.047	0.047	18.0	35.5	2.5		
85	-49.27	0.045	0.045	18.0	35.5	2.5		
86	-50.11	0.043	0.043	18.0	35.5	2.5		
87	-50.95	0.041	0.041	18.0	35.5	2.5		
88	-51.79	0.039	0.039	18.0	35.5	2.5		
89	-52.63	0.037	0.037	18.0	35.5	2.5		
90	-53.47	0.035	0.035	18.0	35.5	2.5		
91	-54.31	0.033	0.033	18.0	35.5	2.5		
92	-55.15	0.031	0.031	18.0	35.5	2.5		
93	-55.99	0.029	0.029	18.0	35.5	2.5		
94	-56.83	0.027	0.027	18.0	35.5	2.5		
95	-57.67	0.025	0.025	18.0	35.5	2.5		
96	-58.51	0.023	0.023	18.0	35.5	2.5		
97	-59.35	0.021	0.021	18.0	35.5	2.5		
98	-60.19	0.019	0.019	18.0	35.5	2.5		
99	-61.03	0.017	0.017	18.0	35.5	2.5		
100	-61.87	0.015	0.015	18.0	35.5	2.5		
101	-62.71	0.013	0.013	18.0	35.5	2.5		
102	-63.55	0.011	0.011	18.0	35.5	2.5		
103	-64.39	0.009	0.009	18.0	35.5	2.5		
104	-65.23	0.007	0.007	18.0	35.5	2.5		
105	-66.07	0.005	0.005	18.0	35.5	2.5		
106	-66.91	0.003	0.003	18.0	35.5	2.5		
107	-67.75	0.001	0.001	18.0	35.5	2.5		
108	-68.59	-0.001	-0.001	18.0	35.5	2.5		
109	-69.43	-0.003	-0.003	18.0	35.5	2.5		
110	-70.27	-0.005	-0.005	18.0	35.5	2.5		
111	-71.11	-0.007	-0.007	18.0	35.5	2.5		
112	-71.95	-0.009	-0.009	18.0	35.5	2.5		
113	-72.79	-0.011	-0.011	18.0	35.5	2.5		
114	-73.63	-0.013	-0.013	18.0	35.5	2.5		
115	-74.47	-0.015	-0.015	18.0	35.5	2.5		
116	-75.31	-0.017	-0.017	18.0	35.5	2.5		
117	-76.15	-0.019	-0.019	18.0	35.5	2.5		
118	-76.99	-0.021	-0.021	18.0	35.5	2.5		
119	-77.83	-0.023	-0.023	18.0	35.5	2.5		
120	-78.67	-0.025	-0.025	18.0	35.5	2.5		
121	-79.51	-0.027	-0.027	18.0	35.5	2.5		
122	-80.35	-0.029	-0.029	18.0	35.5	2.5		
123	-81.19	-0.031	-0.031	18.0	35.5	2.5		
124	-82.03	-0.033	-0.033	18.0	35.5	2.5		
125	-82.87	-0.035	-0.035	18.0	35.5	2.5		
126	-83.71	-0.037	-0.037	18.0	35.5	2.5		
127	-84.55	-0.039	-0.039	18.0	35.5	2.5		
128	-85.39	-0.041	-0.041	18.0	35.5	2.5		
129	-86.23	-0.043	-0.043	18.0	35.5	2.5		
130	-87.07	-0.045	-0.045	18.0	35.5	2.5		
131	-87.91	-0.047	-0.047	18.0	35.5	2.5		
132	-88.75	-0.049	-0.049	18.0	35.5	2.5		
133	-89.59	-0.051	-0.051	18.0	35.5	2.5		
134	-90.43	-0.053	-0.053	18.0	35.5	2.5		
135	-91.27	-0.055	-0.055	18.0	35.5	2.5		
136	-92.11	-0.057	-0.057	18.0	35.5	2.5		
137	-92.95	-0.059	-0.059	18.0	35.5	2.5		
138	-93.79	-0.061	-0.061	18.0	35.5	2.5		
139	-94.63	-0.063	-0.063	18.0				



117	-35.50	0.243	0.269	18.0	5870.2	419.9	118	-35.36	0.242	0.269	18.0	5982.6	413.2
119	-35.22	0.242	0.269	18.0	5932.7	415.4	120	-34.93	0.242	0.269	18.0	5998.1	419.9
122	-34.79	0.242	0.269	18.0	6029.5	422.1	123	-34.65	0.242	0.269	18.0	6060.5	424.2
124	-34.54	0.242	0.269	18.0	6091.3	424.2	125	-34.37	0.241	0.269	18.0	6121.8	428.5
126	-34.23	0.241	0.269	18.0	6152.4	428.5	127	-34.09	0.241	0.269	18.0	6182.1	428.7
128	-34.00	0.241	0.269	18.0	6221.8	428.7	129	-33.87	0.241	0.269	18.0	6259.5	432.1
131	-33.75	0.241	0.269	18.0	6291.8	432.1	132	-33.66	0.241	0.269	18.0	6311.3	432.1
133	-33.57	0.241	0.269	18.0	6341.2	432.1	134	-33.48	0.241	0.269	18.0	6371.7	432.1
135	-33.41	0.241	0.269	18.0	6401.6	432.1	136	-33.34	0.241	0.269	18.0	6431.1	432.1
137	-33.27	0.241	0.269	18.0	6461.6	432.1	138	-33.21	0.241	0.269	18.0	6491.1	432.1
139	-33.14	0.241	0.269	18.0	6521.6	432.1	140	-33.08	0.241	0.269	18.0	6551.1	432.1
141	-33.02	0.241	0.269	18.0	6581.6	432.1	142	-32.96	0.241	0.269	18.0	6611.1	432.1
143	-32.91	0.241	0.269	18.0	6641.6	432.1	144	-32.85	0.241	0.269	18.0	6671.1	432.1
145	-32.80	0.241	0.269	18.0	6701.6	432.1	146	-32.75	0.241	0.269	18.0	6731.1	432.1
147	-32.70	0.241	0.269	18.0	6761.6	432.1	148	-32.65	0.241	0.269	18.0	6791.1	432.1
149	-32.60	0.241	0.269	18.0	6821.6	432.1	150	-32.55	0.241	0.269	18.0	6851.1	432.1
151	-32.50	0.241	0.269	18.0	6881.6	432.1	152	-32.45	0.241	0.269	18.0	6911.1	432.1
153	-32.40	0.241	0.269	18.0	6941.6	432.1	154	-32.35	0.241	0.269	18.0	6971.1	432.1
155	-32.30	0.241	0.269	18.0	7001.6	432.1	156	-32.25	0.241	0.269	18.0	7031.1	432.1
157	-32.20	0.241	0.269	18.0	7061.6	432.1	158	-32.15	0.241	0.269	18.0	7091.1	432.1
159	-32.10	0.241	0.269	18.0	7121.6	432.1	160	-32.05	0.241	0.269	18.0	7151.1	432.1
161	-32.00	0.241	0.269	18.0	7181.6	432.1	162	-31.95	0.241	0.269	18.0	7211.1	432.1
163	-31.90	0.241	0.269	18.0	7241.6	432.1	164	-31.85	0.241	0.269	18.0	7271.1	432.1
165	-31.80	0.241	0.269	18.0	7301.6	432.1	166	-31.75	0.241	0.269	18.0	7331.1	432.1
167	-31.70	0.241	0.269	18.0	7361.6	432.1	168	-31.65	0.241	0.269	18.0	7391.1	432.1
169	-31.60	0.241	0.269	18.0	7421.6	432.1	170	-31.55	0.241	0.269	18.0	7451.1	432.1
171	-31.50	0.241	0.269	18.0	7481.6	432.1	172	-31.45	0.241	0.269	18.0	7511.1	432.1
173	-31.40	0.241	0.269	18.0	7541.6	432.1	174	-31.35	0.241	0.269	18.0	7571.1	432.1
175	-31.30	0.241	0.269	18.0	7601.6	432.1	176	-31.25	0.241	0.269	18.0	7631.1	432.1
177	-31.20	0.241	0.269	18.0	7661.6	432.1	178	-31.15	0.241	0.269	18.0	7691.1	432.1
179	-31.10	0.241	0.269	18.0	7721.6	432.1	180	-31.05	0.241	0.269	18.0	7751.1	432.1
181	-31.00	0.241	0.269	18.0	7781.6	432.1	182	-30.95	0.241	0.269	18.0	7811.1	432.1
183	-30.90	0.241	0.269	18.0	7841.6	432.1	184	-30.85	0.241	0.269	18.0	7871.1	432.1
185	-30.80	0.241	0.269	18.0	7901.6	432.1	186	-30.75	0.241	0.269	18.0	7931.1	432.1
187	-30.70	0.241	0.269	18.0	7961.6	432.1	188	-30.65	0.241	0.269	18.0	7991.1	432.1
189	-30.60	0.241	0.269	18.0	8021.6	432.1	190	-30.55	0.241	0.269	18.0	8051.1	432.1
191	-30.50	0.241	0.269	18.0	8081.6	432.1	192	-30.45	0.241	0.269	18.0	8111.1	432.1
193	-30.40	0.241	0.269	18.0	8141.6	432.1	194	-30.35	0.241	0.269	18.0	8171.1	432.1
195	-30.30	0.241	0.269	18.0	8201.6	432.1	196	-30.25	0.241	0.269	18.0	8231.1	432.1
197	-30.20	0.241	0.269	18.0	8261.6	432.1	198	-30.15	0.241	0.269	18.0	8291.1	432.1
199	-30.10	0.241	0.269	18.0	8321.6	432.1	200	-30.05	0.241	0.269	18.0	8351.1	432.1
201	-30.00	0.241	0.269	18.0	8381.6	432.1	202	-29.95	0.241	0.269	18.0	8411.1	432.1
203	-29.90	0.241	0.269	18.0	8441.6	432.1	204	-29.85	0.241	0.269	18.0	8471.1	432.1
205	-29.80	0.241	0.269	18.0	8501.6	432.1	206	-29.75	0.241	0.269	18.0	8531.1	432.1
207	-29.70	0.241	0.269	18.0	8561.6	432.1	208	-29.65	0.241	0.269	18.0	8591.1	432.1
209	-29.60	0.241	0.269	18.0	8621.6	432.1	210	-29.55	0.241	0.269	18.0	8651.1	432.1
211	-29.50	0.241	0.269	18.0	8681.6	432.1	212	-29.45	0.241	0.269	18.0	8711.1	432.1
213	-29.40	0.241	0.269	18.0	8741.6	432.1	214	-29.35	0.241	0.269	18.0	8771.1	432.1
215	-29.30	0.241	0.269	18.0	8801.6	432.1	216	-29.25	0.241	0.269	18.0	8831.1	432.1
217	-29.20	0.241	0.269	18.0	8861.6	432.1	218	-29.15	0.241	0.269	18.0	8891.1	432.1
219	-29.10	0.241	0.269	18.0	8921.6	432.1	220	-29.05	0.241	0.269	18.0	8951.1	432.1
221	-29.00	0.241	0.269	18.0	8981.6	432.1	222	-28.95	0.241	0.269	18.0	9011.1	432.1
223	-28.90	0.241	0.269	18.0	9041.6	432.1	224	-28.85	0.241	0.269	18.0	9071.1	432.1
225	-28.80	0.241	0.269	18.0	9101.6	432.1	226	-28.75	0.241	0.269	18.0	9131.1	432.1
227	-28.70	0.241	0.269	18.0	9161.6	432.1	228	-28.65	0.241	0.269	18.0	9191.1	432.1
229	-28.60	0.241	0.269	18.0	9221.6	432.1	230	-28.55	0.241	0.269	18.0	9251.1	432.1
231	-28.50	0.241	0.269	18.0	9281.6	432.1	232	-28.45	0.241	0.269	18.0	9311.1	432.1
233	-28.40	0.241	0.269	18.0	9341.6	432.1	234	-28.35	0.241	0.269	18.0	9371.1	432.1
235	-28.30	0.241	0.269	18.0	9401.6	432.1	236	-28.25	0.241	0.269	18.0	9431.1	432.1
237	-28.20	0.241	0.269	18.0	9461.6	432.1	238	-28.15	0.241	0.269	18.0	9491.1	432.1
239	-28.10	0.241	0.269	18.0	9521.6	432.1	240	-28.05	0.241	0.269	18.0	9551.1	432.1
241	-28.00	0.241	0.269	18.0	9581.6	432.1	242	-27.95	0.241	0.269	18.0	9611.1	432.1
243	-27.90	0.241	0.269	18.0	9641.6	432.1	244	-27.85	0.241	0.269	18.0	9671.1	432.1
245	-27.80	0.241	0.269	18.0	9701.6	432.1	246	-27.75	0.241	0.269	18.0	9731.1	432.1
247	-27.70	0.241	0.269	18.0	9761.6	432.1	248	-27.65	0.241	0.269	18.0	9791.1	432.1
249	-27.60	0.241	0.269	18.0	9821.6	432.1	250	-27.55	0.241	0.269	18.0	9851.1	432.1
251	-27.50	0.241	0.269	18.0	9881.6	432.1	252	-27.45	0.241	0.269	18.0	9911.1	432.1
253	-27.40	0.241	0.269	18.0	9941.6	432.1	254	-27.35	0.241	0.269	18.0	9971.1	432.1
255	-27.30	0.241	0.269	18.0	10001.6	432.1	256	-27.25	0.241	0.269	18.0	10031.1	432.1
257	-27.20	0.241	0.269	18.0	10061.6	432.1	258	-27.15	0.241	0.269	18.0	10091.1	432.1
259	-27.10	0.241	0.269	18.0	10121.6	432.1	260	-27.05	0.241	0.269	18.0	10151.1	432.1
261	-27.00	0.241	0.269	18.0	10181.6	432.1	262	-26.95	0.241	0.269	18.0	10211.1	432.1
263	-26.90	0.241	0.269	18.0	10241.6	432.1	264	-26.85	0.241	0.269	18.0	10271.1	432.1
265	-26.80	0.241	0.269	18.0	10301.6	432.1	266	-26.75	0.241	0.269	18.0	10331.1	432.1
267	-26.70	0.241	0.269	18.0	10361.6	432.1	268	-26.65	0.241	0.269	18.0	10391.1	432.1
269	-26.60	0.241	0.269	18.0	10421.6	432.1	270	-26.55	0.241	0.269	18.0	10451.1	432.1
271	-26												









La verifica è soddisfatta

STUZIONE (SEZIONE D-D')	METODO DI CALCOLO	COEFFICIENTE DI SICUREZZA MINIMO
Ante Operam	Janbu	GS = 3.913
Ante Operam	Fellenius	GS = 3.570
Ante Operam	Bishop	GS = 3.701

Per quanto dall'elaborazione della curva di slittamento ante operam, rappresentata da un arco di cerchi, si ricavano i seguenti coefficienti di stabilità:

477	36,24	0,298	0,268	18,8	3647,9	115,4	37,09	0,293	0,268	18,8	3647,9	115,4
478	36,41	0,291	0,269	18,8	3583,1	118,8	36,92	0,292	0,269	18,8	3586,2	117,0
479	36,58	0,291	0,269	18,8	3583,1	118,8	36,75	0,292	0,269	18,8	3527,9	101,7
480	36,75	0,291	0,269	18,8	3583,1	118,8	36,52	0,292	0,269	18,8	3452,3	101,7
481	36,92	0,292	0,270	18,8	3586,2	117,0	37,09	0,293	0,270	18,8	3586,2	117,0
482	37,09	0,293	0,270	18,8	3647,9	115,4	37,09	0,293	0,270	18,8	3647,9	115,4

Introducendo tali valori nel grafico seguente

$C = 9.8 \text{ kPa} = 0.99 \text{ T/m}^2 = 0.01 \text{ Kg/cm}^2$
$T_{\phi} = 0.286$
$F_s = 1.3$
$C = 0.99$
$\frac{Y_H}{T_{\phi}} = \frac{1.75 * 3 * 0.286}{0.659} = 0.220$

Con riferimento alla teoria di Hoek e Bray, avremo:

In un contesto di estrema cautela a tale coesione viene attribuito un valore:

materiale di tipo argilloso presente nel terreno.

Si ricorda che alla stabilità degli scavi contribuisce – a breve termine – anche una certa coesione apparente dovuta al

si va ad individuare l'inclinazione massima da conferire ai fronti di scavo.

A	Nel rispetto delle norme vigenti
C	Considerando fronti di altezza massima pari a 3.00
D	Tenendo presente le caratteristiche fisico meccaniche dei terreni in posso

In tale contesto:

garantire la stabilità.

In questa sede andremo ad individuare le sagome ottimali da conferire alle scarpeate secondo inclinazioni atte a

opere.

La superficie delle condizioni statiche del muretto di contenimento sarà contestuale alla progettazione esecutiva delle opere.

Parte di questa scavi si potranno eseguire dando una opportuna inclinazione al terreno.

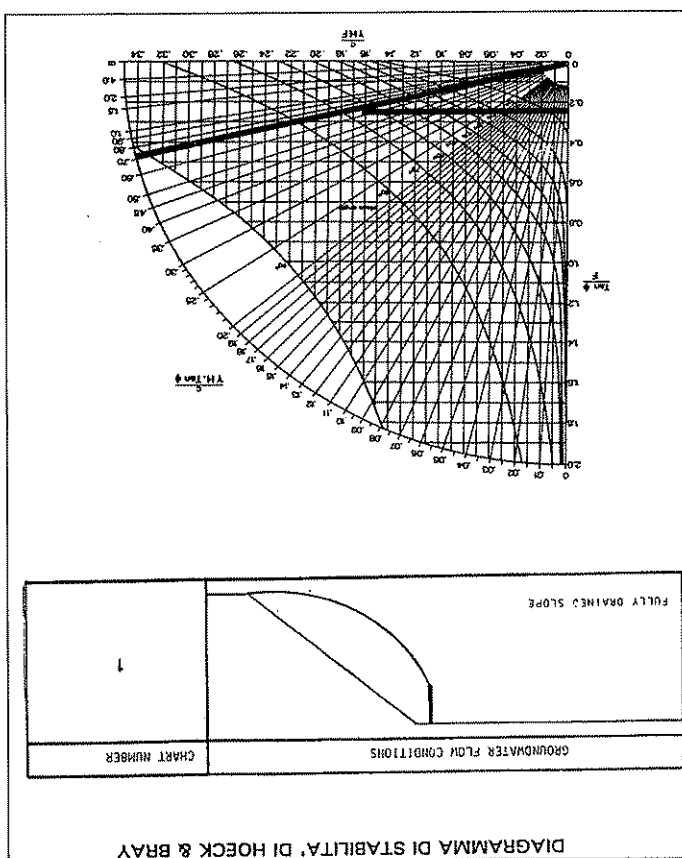
splatamente su n. 3 lati di un generico lotto.

Data la conformazione dell'area ed in relazione alle pendenze del terreno, l'edificazione del sito comporterà scavi di

### 3.0 STABILITÀ, DURANTE L'ESECUZIONE DEI LAVORI

- Per tali durate l'esecuzione dei lavori si potranno effettuare scaricate avventive;
  - Altezza massima pari a 3,00 metri
  - Inclinazione massima pari a 60°
  - Per la realizzazione di opere di sbancamento avventi altezze o inclinazioni superiori a quelle sudette si valuterà l'opportunità di realizzare opere provvisoriali del tipo "paratia di palli" e/o "dilatrammi".
  - In ordine alle realizzazioni di riporti si ricorda che queste potranno essere realizzati con il terreno di risulta dagli sbancamenti.
  - Tenendo presente il notevole disturbo delle terre riportate si prescrive:
  - Gli spessori massimi dei riporti non dovrà eccedere i 3,0.+3,50 m
  - Le incisioni massime da conferire alle terre riportate non potrà superare i 30°.
  - I terreni di ripporto andranno costipati, calificati e/o cementati fino al raggiungimento della densità ottima.

E' questo il massimo valore di attività da attribuire alle scarpeate a cui si è fatto riferimento.

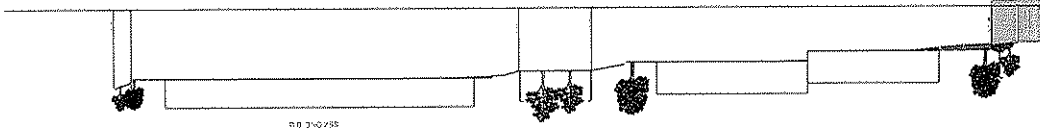


#### 4.0 STABILITÀ IN CONDIZIONI POST OPERAM (SEZIONE D-D')

A seguito della realizzazione degli interventi avremo:

- una superficie modificata e cioè interessata da interventi di spalatoamento e ripporto
- la presenza di strutture che andranno a costituire sovraccarichi ad incrementare i pesi e quindi le masse
- tergere si scaricherà il suolo.

Verifica di stabilità in situazione post operam (da progetto):



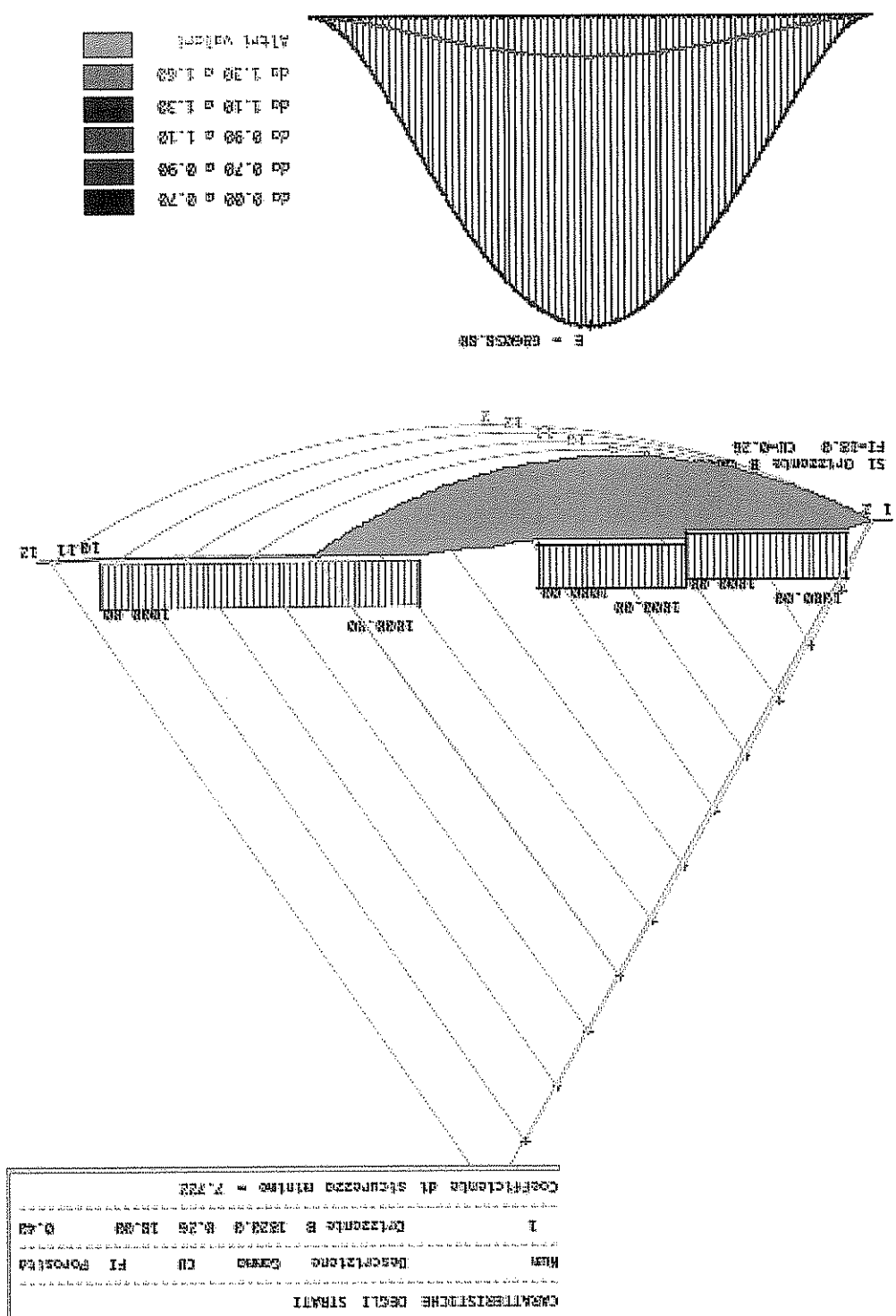
CARROZZERIA DEI RUFFELLI

CHARTERED INSTITUTE OF BANKERS

Year	Lesser of duration between debtors	CU	EE	Percent loss
1988	debtors more than 180 days	0.26	18.88	0.00

GEORGETTE KEE WILLETT

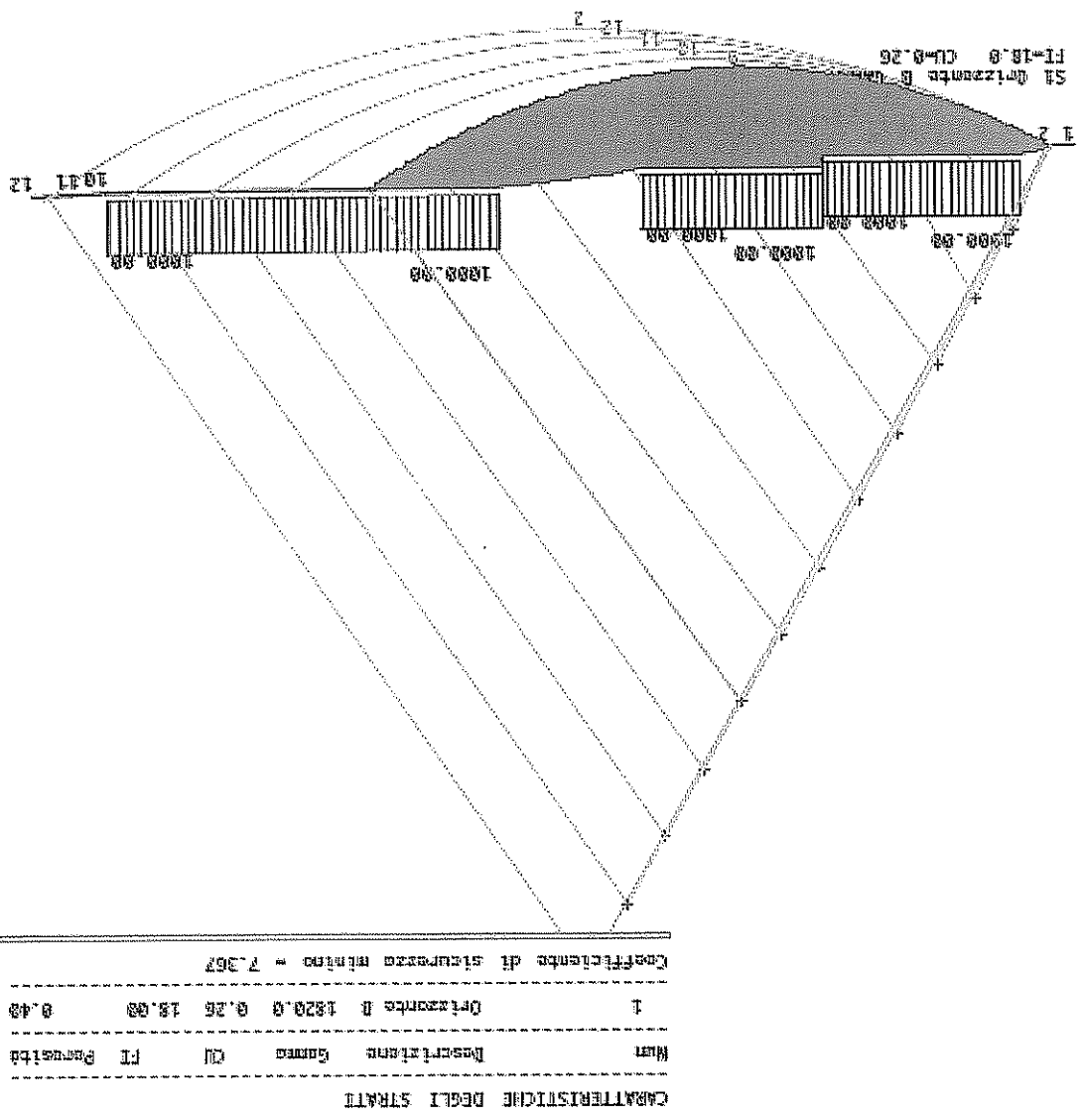
num	Delta	Centrifuge	Yt	Centrifuge	Delta
1	16.87	22.79	34.43	35.52	35.52
2	112.39	223.71	223.81	223.81	223.81
3	35.52	44.06	45.55	45.55	45.55
4	35.52	45.55	45.55	45.55	45.55
5	35.52	45.55	45.55	45.55	45.55
6	35.52	45.55	45.55	45.55	45.55
7	35.52	45.55	45.55	45.55	45.55
8	35.52	45.55	45.55	45.55	45.55
9	35.52	45.55	45.55	45.55	45.55
10	35.52	45.55	45.55	45.55	45.55
11	35.52	45.55	45.55	45.55	45.55
12	35.52	45.55	45.55	45.55	45.55
13	35.52	45.55	45.55	45.55	45.55
14	35.52	45.55	45.55	45.55	45.55
15	35.52	45.55	45.55	45.55	45.55
16	35.52	45.55	45.55	45.55	45.55
17	35.52	45.55	45.55	45.55	45.55
18	35.52	45.55	45.55	45.55	45.55
19	35.52	45.55	45.55	45.55	45.55
20	35.52	45.55	45.55	45.55	45.55
21	35.52	45.55	45.55	45.55	45.55
22	35.52	45.55	45.55	45.55	45.55
23	35.52	45.55	45.55	45.55	45.55
24	35.52	45.55	45.55	45.55	45.55
25	35.52	45.55	45.55	45.55	45.55
26	35.52	45.55	45.55	45.55	45.55
27	35.52	45.55	45.55	45.55	45.55
28	35.52	45.55	45.55	45.55	45.55
29	35.52	45.55	45.55	45.55	45.55
30	35.52	45.55	45.55	45.55	45.55
31	35.52	45.55	45.55	45.55	45.55
32	35.52	45.55	45.55	45.55	45.55
33	35.52	45.55	45.55	45.55	45.55
34	35.52	45.55	45.55	45.55	45.55
35	35.52	45.55	45.55	45.55	45.55
36	35.52	45.55	45.55	45.55	45.55
37	35.52	45.55	45.55	45.55	45.55
38	35.52	45.55	45.55	45.55	45.55
39	35.52	45.55	45.55	45.55	45.55
40	35.52	45.55	45.55	45.55	45.55
41	35.52	45.55	45.55	45.55	45.55
42	35.52	45.55	45.55	45.55	45.55



4.1 RAPPRESENTAZIONE GRAFICA DEL METODO DI JANBU (SEZIONE D-D') - POST OPERAM:  
Si riportano i dati del cerchio critico che evidenzia un Coefficiente di Sicurezza:  $G_s = 7.72$

name	X centre	Y centre	Raggio	F	Sit	Criterio
1	16,87	22,79	24,48	9,684	1	
2	32,39	23,74	258,81	9,323	1	
3	36,44	41,86	45,55	18,976	1	
4	37,31	59,32	65,57	13,955	1	
5	47,79	77,59	87,98	18,183	1	
6	53,35	95,95	116,93	11,847	1	
7	58,94	114,55	136,93	9,812	1	
8	63,44	134,12	139,93	9,812	1	
9	68,99	139,91	139,93	7,754	1	
10	73,65	153,65	172,31	18,183	1	
11	77,24	157,18	151,18	8,118	1	
12	81,81	151,18	139,93	9,812	1	
13	86,44	114,12	139,93	9,812	1	
14	91,55	94,19	98,98	13,955	1	
15	92,69	94,28	98,98	13,955	1	
16	95,55	94,28	98,98	13,955	1	
17	98,55	94,28	98,98	13,955	1	
18	102,39	94,28	98,98	13,955	1	
19	105,44	94,19	98,98	13,955	1	
20	108,55	94,19	98,98	13,955	1	
21	111,65	107,18	114,55	9,812	1	
22	116,24	111,18	114,55	9,812	1	
23	119,85	116,91	119,93	7,754	1	
24	124,31	94,28	118,9	5989,1	0,0	
25	124,44	94,28	118,9	5887,2	0,0	
26	124,58	94,28	118,9	5761,6	0,0	
27	124,71	94,28	118,9	5537,3	0,0	
28	124,85	94,28	118,9	5422,5	0,0	
29	124,98	94,28	118,9	5387,2	0,0	
30	125,12	94,28	118,9	5189,3	0,0	
31	125,25	94,28	118,9	5189,4	0,0	
32	125,39	94,28	118,9	5081,2	0,0	
33	125,52	94,28	118,9	4956,7	0,0	
34	125,65	94,28	118,9	4838,4	0,0	
35	125,79	94,28	118,9	4719,4	0,0	
36	125,92	94,28	118,9	4599,7	0,0	
37	126,05	94,28	118,9	4488,4	0,0	
38	126,18	94,28	118,9	3984,3	0,0	
39	126,31	94,28	118,9	3713,3	0,0	
40	126,44	94,28	118,9	3524,9	0,0	
41	126,48	94,28	118,9	3424,9	0,0	
42	126,61	94,28	118,9	3035,6	0,0	
43	126,75	94,13	98,98	3185,7	0,0	
44	126,89	94,13	98,98	2955,8	0,0	
45	127,02	94,13	98,98	2780,5	0,0	
46	127,15	94,13	98,98	2571,3	0,0	
47	127,28	94,13	98,98	2354,9	0,0	
48	127,41	94,13	98,98	2151,3	0,0	
49	127,54	94,13	98,98	1959,2	0,0	
50	127,67	94,13	98,98	1795,8	0,0	
51	127,80	94,13	98,98	1595,3	0,0	
52	127,93	94,13	98,98	1395,1	0,0	
53	128,06	94,13	98,98	1195,2	0,0	
54	128,19	94,13	98,98	995,3	0,0	
55	128,32	94,13	98,98	795,4	0,0	
56	128,45	94,13	98,98	595,5	0,0	
57	128,58	94,13	98,98	395,6	0,0	
58	128,71	94,13	98,98	195,7	0,0	
59	128,84	94,13	98,98	95,8	0,0	
60	128,97	94,13	98,98	55,9	0,0	
61	129,10	94,13	98,98	15,10	0,0	
62	129,23	94,13	98,98	-5,11	0,0	
63	129,36	94,13	98,98	-15,12	0,0	
64	129,49	94,13	98,98	-35,13	0,0	
65	129,62	94,13	98,98	-55,14	0,0	
66	129,75	94,13	98,98	-75,15	0,0	
67	129,88	94,13	98,98	-95,16	0,0	
68	129,01	94,13	98,98	-115,17	0,0	
69	129,14	94,13	98,98	-135,18	0,0	
70	129,27	94,13	98,98	-155,19	0,0	
71	129,40	94,13	98,98	-175,20	0,0	
72	129,53	94,13	98,98	-195,21	0,0	
73	129,66	94,13	98,98	-215,22	0,0	
74	129,79	94,13	98,98	-235,23	0,0	
75	129,92	94,13	98,98	-255,24	0,0	
76	130,05	94,13	98,98	-275,25	0,0	
77	130,18	94,13	98,98	-295,26	0,0	
78	130,31	94,13	98,98	-315,27	0,0	
79	130,44	94,13	98,98	-335,28	0,0	
80	130,57	94,13	98,98	-355,29	0,0	
81	130,70	94,13	98,98	-375,30	0,0	
82	130,83	94,13	98,98	-395,31	0,0	
83	130,96	94,13	98,98	-415,32	0,0	
84	131,09	94,13	98,98	-435,33	0,0	
85	131,22	94,13	98,98	-455,34	0,0	
86	131,35	94,13	98,98	-475,35	0,0	
87	131,48	94,13	98,98	-495,36	0,0	
88	131,61	94,13	98,98	-515,37	0,0	
89	131,74	94,13	98,98	-535,38	0,0	
90	131,87	94,13	98,98	-555,39	0,0	
91	131,00	94,13	98,98	-575,40	0,0	
92	131,13	94,13	98,98	-595,41	0,0	
93	131,26	94,13	98,98	-615,42	0,0	
94	131,39	94,13	98,98	-635,43	0,0	
95	131,52	94,13	98,98	-655,44	0,0	
96	131,65	94,13	98,98	-675,45	0,0	
97	131,78	94,13	98,98	-695,46	0,0	
98	131,91	94,13	98,98	-715,47	0,0	
99	132,04	94,13	98,98	-735,48	0,0	
100	132,17	94,13	98,98	-755,49	0,0	
101	132,30	94,13	98,98	-775,50	0,0	
102	132,43	94,13	98,98	-795,51	0,0	
103	132,56	94,13	98,98	-815,52	0,0	
104	132,69	94,13	98,98	-835,53	0,0	
105	132,82	94,13	98,98	-855,54	0,0	
106	132,95	94,13	98,98	-875,55	0,0	
107	133,08	94,13	98,98	-895,56	0,0	
108	133,21	94,13	98,98	-915,57	0,0	
109	133,34	94,13	98,98	-935,58	0,0	
110	133,47	94,13	98,98	-955,59	0,0	
111	133,60	94,13	98,98	-975,60	0,0	
112	133,73	94,13	98,98	-995,61	0,0	
113	133,86	94,13	98,98	-1015,62	0,0	
114	133,99	94,13	98,98	-1035,63	0,0	
115	134,12	94,13	98,98	-1055,64	0,0	
116	134,25	94,13	98,98	-1075,65	0,0	
117	134,38	94,13	98,98	-1095,66	0,0	
118	134,51	94,13	98,98	-1115,67	0,0	
119	134,64	94,13	98,98	-1135,68	0,0	
120	134,77	94,13	98,98	-1155,69	0,0	
121	134,90	94,13	98,98	-1175,70	0,0	
122	135,03	94,13	98,98	-1195,71	0,0	
123	135,16	94,13	98,98	-1215,72	0,0	
124	135,29	94,13	98,98	-1235,73	0,0	
125	135,42	94,13	98,98	-1255,74	0,0	
126	135,55	94,13	98,98	-1275,75	0,0	
127	135,68	94,13	98,98	-1295,76	0,0	
128	135,81	94,13	98,98	-1315,77	0,0	
129	135,94	94,13	98,98	-1335,78	0,0	
130	136,07	94,13	98,98	-1355,79	0,0	
131	136,20	94,13	98,98	-1375,80	0,0	
132	136,33	94,13	98,98	-1395,81	0,0	
133	136,46	94,13	98,98	-1415,82	0,0	
134	136,59	94,13	98,98	-1435,83	0,0	
135	136,72	94,13	98,98	-1455,84	0,0	
136	136,85	94,13	98,98	-1475,85	0,0	
137	136,98	94,13	98,98	-1495,86	0,0	
138	137,11	94,13	98,98	-1515,87	0,0	
139	137,24	94,13	98,98	-1535,88	0,0	
140	137,37	94,13	98,98	-1555,89	0,0	
141	137,50	94,13	98,98	-1575,90	0,0	
142	137,63	94,13	98,98	-1595,91	0,0	
143	137,76	94,13	98,98	-1615,92	0,0	
144	137,89	94,13	98,98	-1635,93	0,0	
145	137,102	94,13	98,98	-1655,94	0,0	
146	137,135	94,13	98,98	-1675,95	0,0	
147	137,168	94,13	98,98	-1695,96	0,0	
148	137,201	94,13	98,98	-1715,97	0,0	
149	137,234	94,13	98,98	-1735,98	0,0	
150	137,267	94,13	98,98	-1755,99	0,0	
151	137,300	94,13	98,98	-1775,100	0,0	
152	137,333	94,13	98,98	-1795,101	0,0	
153	137,366	94,13	98,98	-1815,102	0,0	
154	137,400	94,13	98,98	-1835,103	0,0	
155	137,433	94,13	98,98	-1855,104	0,0	
156	137,466	94,13	98,98	-1875,105	0,0	
157	137,500	94,13	98,98	-1895,106	0,0	
158	137,533	94,13	98,98	-1915,107	0,0	
159	137,566	94,13	98,98	-1935,108	0,0	
160	137,600	94,13	98,98	-1955,109	0,0	
161	137,633	94,13	98,98	-1975,110	0,0	
162	137,666	94,13	98,98	-1995,111	0,0	
163	137,700	94,13	98,98	-2015,112	0,0	
164	137,733	94,13	98,98	-2035,113	0,0	
165	137,					

	Altri valori
	da 1.30 a 1.60
	da 1.10 a 1.30
	da 0.90 a 1.10
	da 0.70 a 0.90
	da 0.50 a 0.70



Si riportano i dati del cerchio critico che evidenzia un Coefficiente di Sicurezza:  $G_s = 7.36$

#### 4.2 RAPPRESENTAZIONE GRAFICA DEL METODO DI FELLENIUS (SEZIONE D-D') - POST OPERA:

num	X centro	Y centro	Raggio	F	Sit. Cartes.
1	16.88	22.39	24.43	9.411	1
2	132.39	233.71	255.81	8.823	1
3	26.64	44.86	45.55	18.697	1
4	37.12	59.22	65.87	65.861	1
5	58.79	72.59	87.38	9.737	1
6	58.35	95.85	106.93	18.519	1
7	68.94	111.12	116.85	9.433	1
8	79.51	132.38	151.18	7.784	1
9	98.98	155.65	172.34	7.307	1
10	100.96	158.91	170.43	7.479	1
11	111.39	159.38	172.34	7.316	1
12	121.81	205.44	225.88	8.724	1
13	131.81	218.38	234.95	7.816	1
14	141.39	228.91	245.43	7.479	1
15	151.89	238.41	255.11	7.307	1
16	161.39	248.91	265.43	7.479	1
17	171.81	258.41	275.11	7.307	1
18	181.39	268.91	285.43	7.479	1
19	191.81	278.41	295.11	7.307	1
20	201.39	288.91	295.43	7.479	1
21	211.81	298.41	295.11	7.307	1
22	221.39	308.91	295.43	7.479	1
23	231.81	318.41	295.11	7.307	1
24	241.39	328.91	295.43	7.479	1
25	251.81	338.41	295.11	7.307	1
26	261.39	348.91	295.43	7.479	1
27	271.81	358.41	295.11	7.307	1
28	281.39	368.91	295.43	7.479	1
29	291.81	378.41	295.11	7.307	1
30	301.39	388.91	295.43	7.479	1
31	311.81	398.41	295.11	7.307	1
32	321.39	408.91	295.43	7.479	1
33	331.81	418.41	295.11	7.307	1
34	341.39	428.91	295.43	7.479	1
35	351.81	438.41	295.11	7.307	1
36	361.39	448.91	295.43	7.479	1
37	371.81	458.41	295.11	7.307	1
38	381.39	468.91	295.43	7.479	1
39	391.81	478.41	295.11	7.307	1
40	401.81	488.91	295.43	7.479	1

Cognaclo Alta Fm. Ll. Dif. Cial. Eti. Eti. N. W. M. N5

Cognaclo certificato di sicurezza f = 7.307

Studieranno del carico massimo 1

Larghezza del piano 1000 m. 8.266

Cognaclo crittico Nr. 9

1	16.88	22.39	24.43	9.411	1
2	132.39	233.71	255.81	8.823	1
3	26.64	44.86	45.55	18.697	1
4	37.12	59.22	65.87	65.861	1
5	47.79	72.59	87.38	9.737	1
6	58.35	95.85	106.93	18.519	1
7	68.94	111.12	116.85	9.433	1
8	79.51	132.38	151.18	7.784	1
9	98.98	155.65	172.34	7.307	1
10	100.96	158.91	170.43	7.479	1
11	111.39	159.38	172.34	7.316	1
12	121.81	205.44	225.88	8.724	1
13	131.81	218.38	234.95	7.816	1
14	141.39	228.91	245.43	7.479	1
15	151.89	238.41	255.11	7.307	1
16	161.39	248.91	265.43	7.479	1
17	171.81	258.41	275.11	7.307	1
18	181.39	268.91	285.43	7.479	1
19	191.81	278.41	295.11	7.307	1
20	201.39	288.91	295.43	7.479	1
21	211.39	298.41	295.11	7.307	1
22	221.39	308.91	295.43	7.479	1
23	231.39	318.41	295.11	7.307	1
24	241.39	328.91	295.43	7.479	1
25	251.81	338.41	295.11	7.307	1
26	261.39	348.91	295.43	7.479	1
27	271.81	358.41	295.11	7.307	1
28	281.39	368.91	295.43	7.479	1
29	291.81	378.41	295.11	7.307	1
30	301.39	388.91	295.43	7.479	1
31	311.81	398.41	295.11	7.307	1
32	321.39	408.91	295.43	7.479	1
33	331.81	418.41	295.11	7.307	1
34	341.39	428.91	295.43	7.479	1
35	351.81	438.41	295.11	7.307	1
36	361.39	448.91	295.43	7.479	1
37	371.81	458.41	295.11	7.307	1
38	381.39	468.91	295.43	7.479	1
39	391.81	478.41	295.11	7.307	1
40	401.81	488.91	295.43	7.479	1

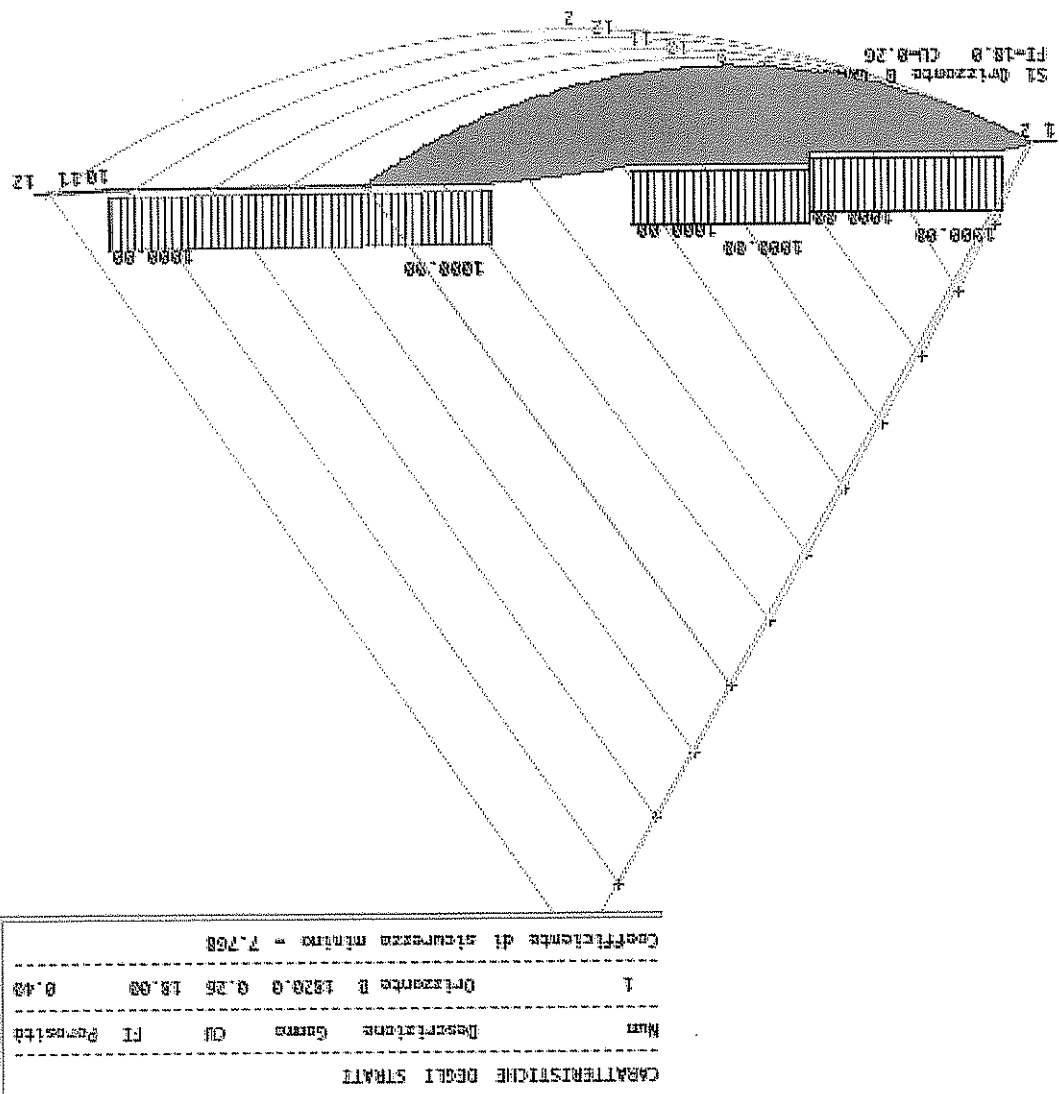
### RISULTATI

#### VERIFICA STABILITA' DEI PENDII

RIFERIMENTO CERNITTO Nr. 9

Calcolo effettuato con il metodo di Fallimento

	All-HL Wallart
	da 1.98 a 1.98
	da 1.18 a 1.18
	da 0.98 a 1.18
	da 0.178 a 0.98
	da 0.190 a 0.78



Si riportano i dati del cerchio critico che evidenzia un Coefficiente di Sicurezza: GS = 7.76

4.3 RAPPRESENTAZIONE GRAFICA DEL METODO DI BISHOP (SEZIONE D-D') - POST OPERAM:

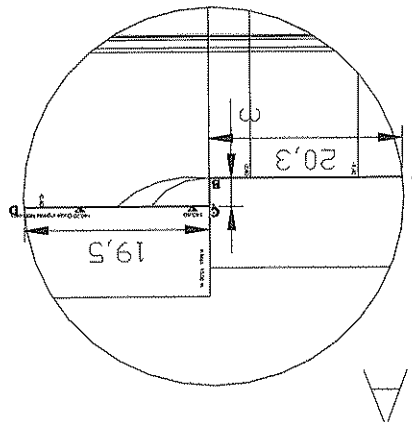


forze stabilizzanti miglioriando l'equilibrio generale.  
 Si può osservare che trattandosi di moti rotazionali, l'incremento di carico dei fabbricati favorisce l'incremento delle  
 La verifica è soddisfatta.

SITUAZIONE (SEZIONE D-D')	METODO DI CALCOLO	COEFFICIENTE DI SICUREZZA MINIMO	Post Operam	Bishop
Post Operam	Janbu	GS = 7.72	Fellenius	GS = 7.36
Post Operam				GS = 7.76

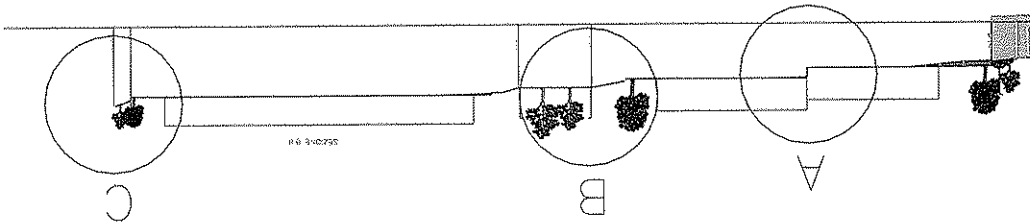
Peraltro dall'elaborazione della curva di silitamento post operam, rappresentata da un arco di cerchi, si ricavano i seguenti coefficienti di stabilità:

Fig. 4



#### 5.1 VERIFICA STABILITÀ - SBANCAMENTO POSIZIONE "A"

Fig. 3



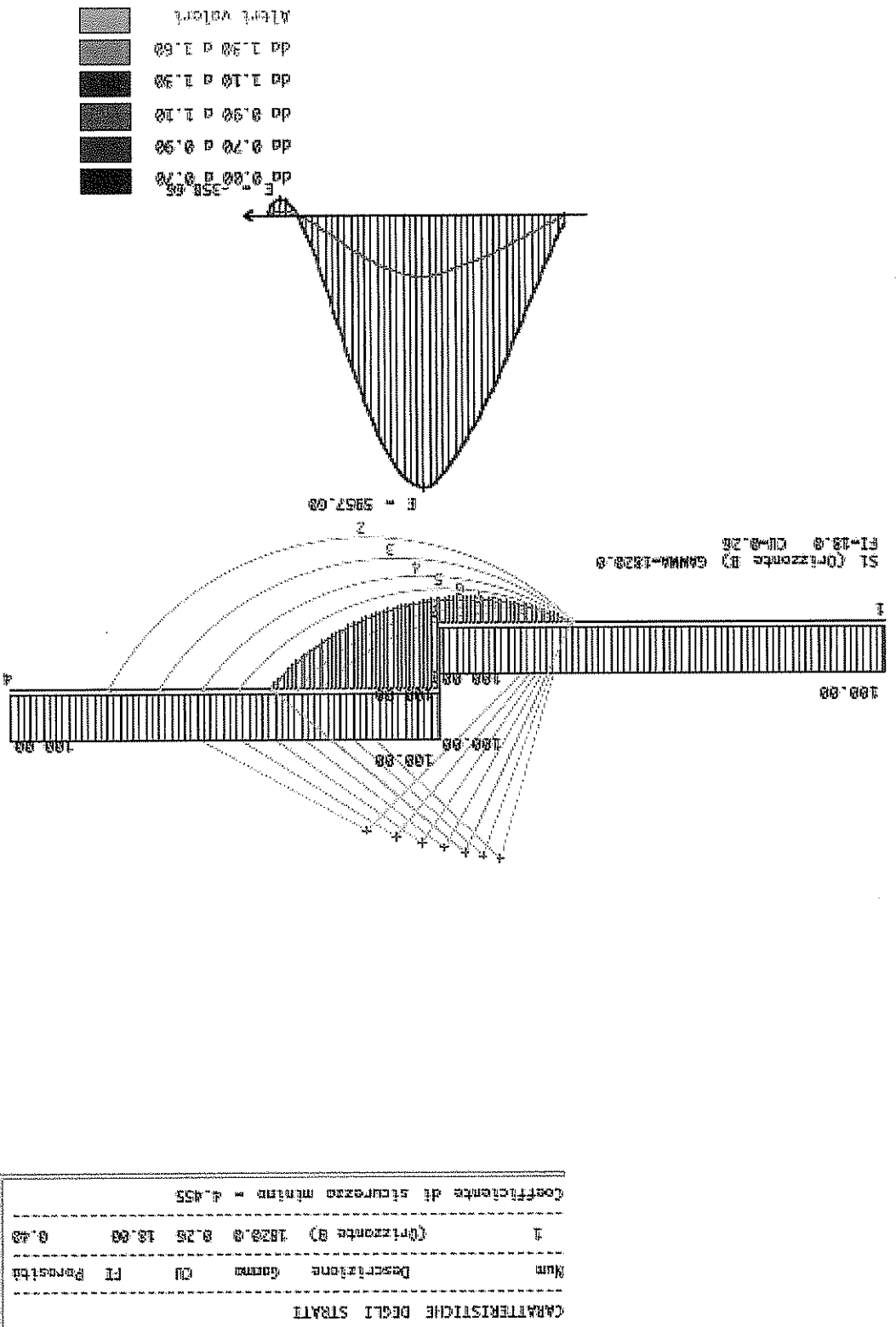
- Le condizioni a controllo prevedono:
- presenza dei sovraccarichi strutturali
- tagli verticali fra lotto e lotto
- Muretti di fondoscarpa

;

Si esaminano le situazioni maggiormente critiche in corrispondenza delle zone dove gli interventi di spaltamento vanno a creare scarpe. Tali zone sono quelle indicate con "A", "B" e "C" di cui alla figura seguente. Anche in questo caso le metodologie di calcolo utilizzate sono fanno riferimento a:

#### 5.0 VERIFICHE DI STABILITÀ LOCALI





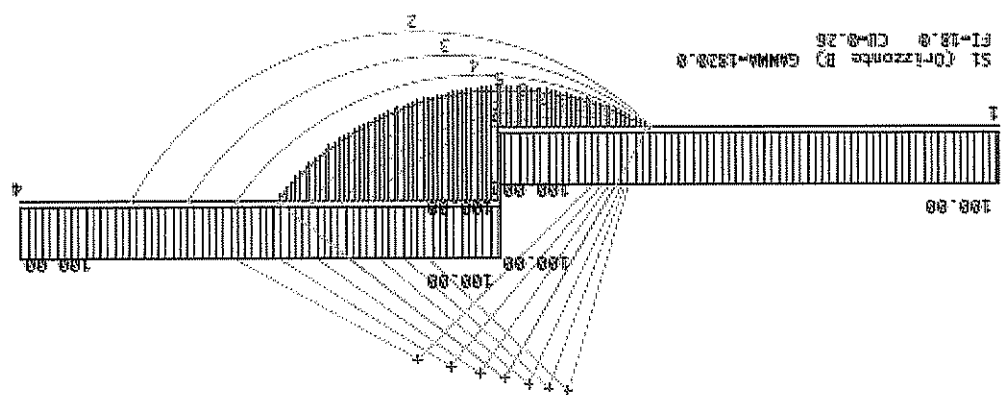
Si riportano i dati del cerchio critico che evidenzia un Coefficiente di Sicurezza:  $G_S = 4.45$

*nzia un Coefficie*

CHARACTERISTICS DECELL STRATI		DECELL STRATI		DECELL STRATI		DECELL STRATI		DECELL STRATI		DECELL STRATI	
Item	Description	Count	%	FT	Percentile	Count	%	FT	Percentile	Count	%
4	(extranet 8)	1828.0	8.25	18.00	6.48						



Altezza vertice
dd 1.30 d 1.60
dd 1.10 d 1.30
dd 0.90 d 1.10
dd 0.70 d 0.90
dd 0.60 d 0.70



CARATTERISTICHE DEGLI STRUTTI				
Blute	Dessertazione	Girante	QU	FI
4 (Orizzontale II)	1320.0	0.25	18.00	0.48
Coefficiente di sicurezza minimo = 4.24				

Si riportano i dati del cerchio critico che evidenzia un Coefficiente di Sicurezza:  $GS = 4.24$

5.3 VERIFICA DI STABILITÀ SCARPA "A" - POST OPERAM - Metodo di Fellenius

num	X centre	Y centre	Raggio	F	Sit Centre	W	H	U	Q1L	Q3	Min	Max	Centro Alf.
1	-29.15	0.229	0.289	395.4	141.8	40.5	0.3	0.3	388.4	399.4	388.3	408.3	41.9
2	-28.85	0.227	0.289	395.2	141.8	40.2	0.6	0.6	388.7	399.3	388.3	408.3	41.8
3	-28.85	0.224	0.289	395.2	141.8	40.2	0.6	0.6	388.7	399.3	388.3	408.3	41.8
4	-28.85	0.227	0.289	395.2	141.8	40.2	0.6	0.6	388.7	399.3	388.3	408.3	41.8
5	-23.64	9.449	4.783	111.28	18.84	17.53	1.1	1.1	18.39	18.67	11.41	41.38	1.7
6	19.13	18.86	4.783	111.28	18.84	18.49	11.49	11.49	18.39	18.67	11.41	41.38	1.6
7	19.13	18.86	4.783	111.28	18.84	18.49	11.49	11.49	18.39	18.67	11.41	41.38	1.6
8	21.88	9.449	4.783	111.28	18.84	18.49	11.49	11.49	18.39	18.67	11.41	41.38	1.6
9	19.59	0.229	0.289	395.4	141.8	40.5	0.3	0.3	388.7	399.4	388.3	408.3	41.9
10	19.59	0.224	0.289	395.2	141.8	40.2	0.6	0.6	388.7	399.3	388.3	408.3	41.8
11	19.59	0.227	0.289	395.2	141.8	40.2	0.6	0.6	388.7	399.3	388.3	408.3	41.8
12	17.53	0.229	0.289	395.4	141.8	40.5	0.3	0.3	388.7	399.4	388.3	408.3	41.9
13	17.53	0.224	0.289	395.2	141.8	40.2	0.6	0.6	388.7	399.3	388.3	408.3	41.8
14	17.53	0.227	0.289	395.2	141.8	40.2	0.6	0.6	388.7	399.3	388.3	408.3	41.8
15	15.51	0.229	0.289	395.4	141.8	40.5	0.3	0.3	388.7	399.4	388.3	408.3	41.9
16	15.51	0.224	0.289	395.2	141.8	40.2	0.6	0.6	388.7	399.3	388.3	408.3	41.8
17	15.51	0.227	0.289	395.2	141.8	40.2	0.6	0.6	388.7	399.3	388.3	408.3	41.8
18	11.53	0.229	0.289	395.4	141.8	40.5	0.3	0.3	388.7	399.4	388.3	408.3	41.9
19	11.53	0.224	0.289	395.2	141.8	40.2	0.6	0.6	388.7	399.3	388.3	408.3	41.8
20	11.53	0.227	0.289	395.2	141.8	40.2	0.6	0.6	388.7	399.3	388.3	408.3	41.8
21	7.55	0.229	0.289	395.4	141.8	40.5	0.3	0.3	388.7	399.4	388.3	408.3	41.9
22	7.55	0.224	0.289	395.2	141.8	40.2	0.6	0.6	388.7	399.3	388.3	408.3	41.8
23	7.55	0.227	0.289	395.2	141.8	40.2	0.6	0.6	388.7	399.3	388.3	408.3	41.8
24	4.53	0.229	0.289	395.4	141.8	40.5	0.3	0.3	388.7	399.4	388.3	408.3	41.9
25	4.53	0.224	0.289	395.2	141.8	40.2	0.6	0.6	388.7	399.3	388.3	408.3	41.8
26	4.53	0.227	0.289	395.2	141.8	40.2	0.6	0.6	388.7	399.3	388.3	408.3	41.8
27	2.51	0.229	0.289	395.4	141.8	40.5	0.3	0.3	388.7	399.4	388.3	408.3	41.9
28	2.51	0.224	0.289	395.2	141.8	40.2	0.6	0.6	388.7	399.3	388.3	408.3	41.8
29	2.51	0.227	0.289	395.2	141.8	40.2	0.6	0.6	388.7	399.3	388.3	408.3	41.8
30	0.51	0.229	0.289	395.4	141.8	40.5	0.3	0.3	388.7	399.4	388.3	408.3	41.9
31	0.51	0.224	0.289	395.2	141.8	40.2	0.6	0.6	388.7	399.3	388.3	408.3	41.8
32	0.51	0.227	0.289	395.2	141.8	40.2	0.6	0.6	388.7	399.3	388.3	408.3	41.8
33	4.48	0.229	0.289	395.4	141.8	40.5	0.3	0.3	388.7	399.4	388.3	408.3	41.9
34	4.48	0.224	0.289	395.2	141.8	40.2	0.6	0.6	388.7	399.3	388.3	408.3	41.8
35	5.41	0.229	0.289	395.4	141.8	40.5	0.3	0.3	388.7	399.4	388.3	408.3	41.9
36	5.41	0.224	0.289	395.2	141.8	40.2	0.6	0.6	388.7	399.3	388.3	408.3	41.8
37	6.35	0.229	0.289	395.4	141.8	40.5	0.3	0.3	388.7	399.4	388.3	408.3	41.9
38	6.35	0.224	0.289	395.2	141.8	40.2	0.6	0.6	388.7	399.3	388.3	408.3	41.8
39	7.29	0.229	0.289	395.4	141.8	40.5	0.3	0.3	388.7	399.4	388.3	408.3	41.9
40	7.29	0.224	0.289	395.2	141.8	40.2	0.6	0.6	388.7	399.3	388.3	408.3	41.8
41	12.25	0.229	0.289	395.4	141.8	40.5	0.3	0.3	388.7	399.4	388.3	408.3	41.9
42	12.25	0.224	0.289	395.2	141.8	40.2	0.6	0.6	388.7	399.3	388.3	408.3	41.8
43	13.19	0.229	0.289	395.4	141.8	40.5	0.3	0.3	388.7	399.4	388.3	408.3	41.9
44	13.19	0.224	0.289	395.2	141.8	40.2	0.6	0.6	388.7	399.3	388.3	408.3	41.8
45	14.13	0.229	0.289	395.4	141.8	40.5	0.3	0.3	388.7	399.4	388.3	408.3	41.9

CERCHIO CIRITTO N° 5 Situazione del concilio - 18.3.1988

Cerchiettame di struttura e di corredo numero 1

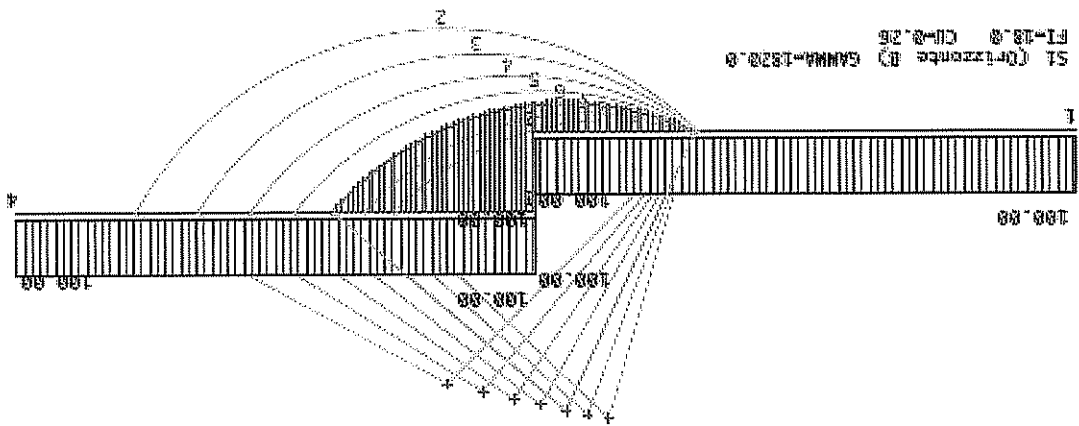
Piani di lotizzazione Ca Guerra - Urmino

RISULTATI

## VERIFICA STABILITÀ DEI PENNINI

Calcolo effettuato con il metodo di Petillenius

RIEPILOGO CERCHIO



CARATTERISTICHE DEGLI STRATI					
Nume	Descriptorne	Param	CI	PI	Percezta
1	(distrizemte 0)	1228.0	0.26	18.88	0.48
	L'esificente di sicurezza minima = 0.484				

Si riportano i dati del cerchio critico che evidenzia un Coefficiente di Sicurezza:  $G_s = 4.34$

do



GEOMETRIA DEI CERCHI DI SCORRIMENTO					
num	X centro	Y centro	Raggio		
1	11.62	7.94	8.67		
2	14.94	11.97	8.67		
3	13.47	10.18	13.68		
4	12.41	8.90	9.85		

CARATTERISTICHE DEGLI STRATTI					
num	Descrizione	gamma	cu	fi	perosita
1	Opzionale B	1328.0	0.26	18.00	0.40

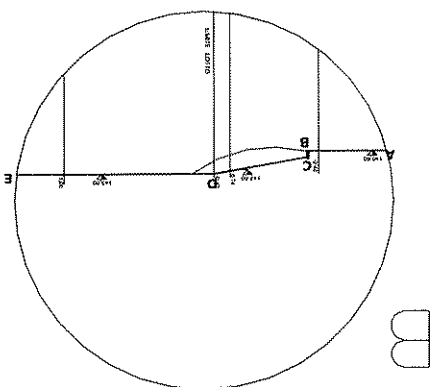
  

COORDINATE DEI PROFILO		
profilo	modo	y
pendto	1	0.000
pendto	2	8.430
pendto	3	8.430
pendto	4	18.380
pendto	5	39.100

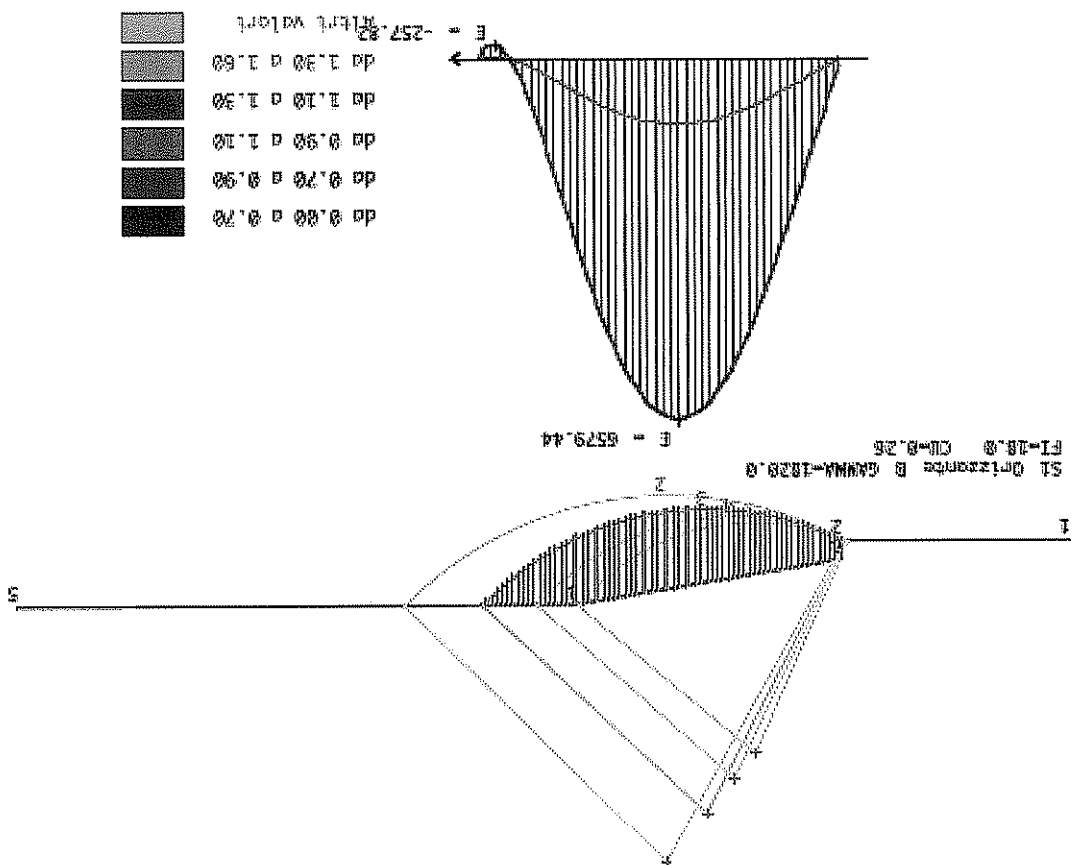
Unità di misura utilizzate: lunghezza: m; pressione: kg/cm<sup>2</sup>; peso specifico: kg/m<sup>3</sup>; forza lineare: kg/m.

#### DATI GENERALI

Fig. 5



#### 6.0 VERIFICA STABILITÀ - SBANCAMENTO POSIZIONE "B"



CARATTERISTICHE DEGLI STRUTTI					
Nom	Descriptiōne	Genna	OU	FI	Parosita
1	Prizzente B	1620.0	0.25	18.00	0.40
					Coefficiente di sicurezza minimo = 5.47

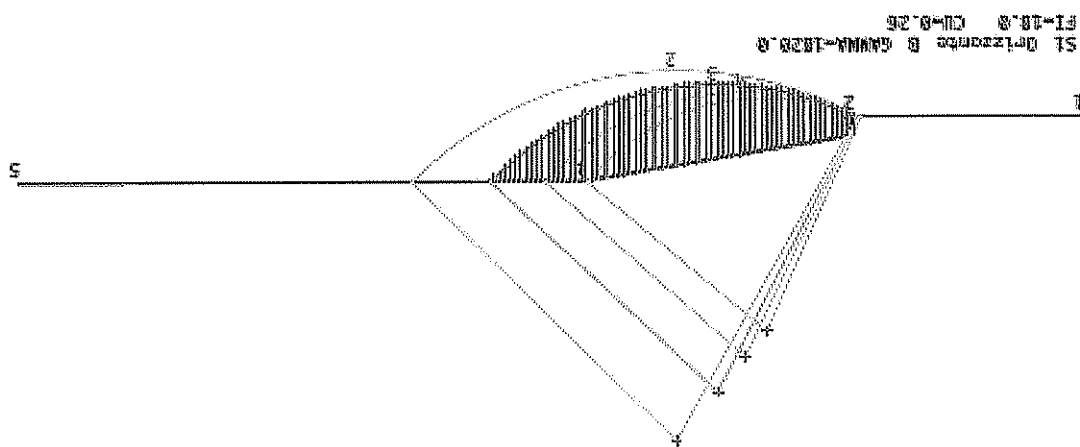
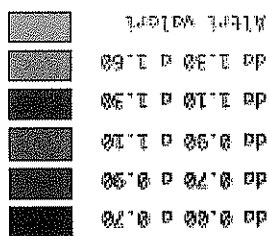
Si riportano i dati del cerchio critico che evidenzia un Coefficiente di Sicurezza:  $Gs = 5.47$   
 6.1 VERIFICA DI STABILITÀ SCARPA "B" - POST OPERAM - Metodo di Janbu

Numero	X centro	Y centro	Raggio	F	Serie	Centro	N.	MS
1	11.62	7.94	8.67	0.099	1			
2	14.94	11.97	13.68	5.561	1			
3	13.47	18.18	13.44	5.417	1			
4	12.41	8.99	9.85	5.028	1			
RISULTATO CERCHIO N° 3								
Cerchi di effettuata con il metodo di Jeanou								
RISULTATI CERCHIO								
VERIFICA STABILITA' DEI PENDII								
Piano di Lottizzazione Ca Guerra - Urmino								
- 51 -								

Caratteristiche di forma = 0.16795  
Caratteristiche di forma = 0.16795  
Numeri interazionali = 1.186417  
Precisione = 0.000066

1	13.44	18.18	13.44	5.417	1
CERCHIO CERCHIO N° 3					
Stabiliame di carico misure = 1					
Caratteristiche di sicurezza F = 5.477					
Caratteristiche di forma = 0.16795					
Numeri interazionali = 1.186417					
Precisione = 0.000066					

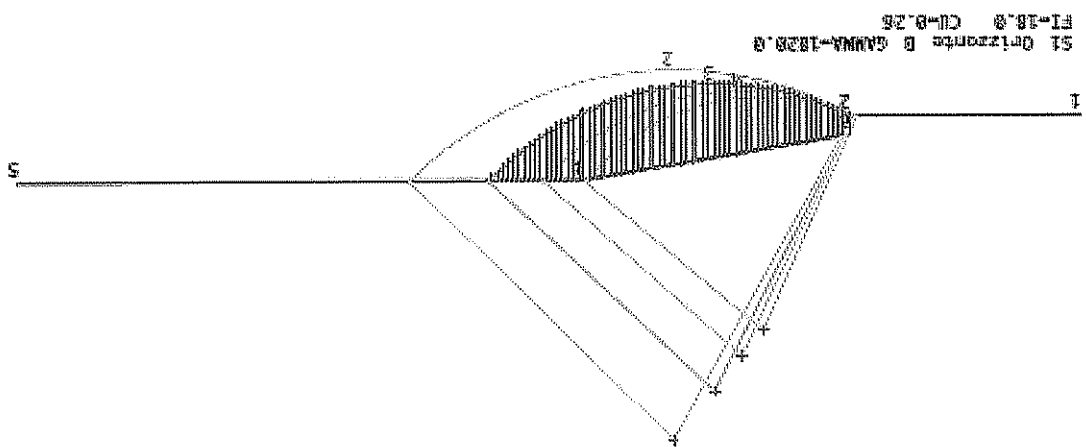
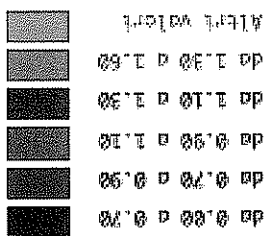
RISULTATI CERCHIO



CARATTERISTICHE DEGLI STRALI					
Nome	Descrizione	Cu	Fl	Parzialità	Percentuale B
1	descrizione	0,25	18,00	0,40	100,00
	Caratteristiche di sicurezza minima = 5,280				

6.2 VERTICALE DI STABILITÀ SCARPAIA "B" - POSI OPERA - Metodi di Fellenius  
Si riportano i dati del cerchio critico che evidenzia un coefficiente di Sicurezza: GS = 5,20

Coordinate X [m]	Coordinate Y [m]	Raggio [m]	Sett Centro	MS	Effettuazione del centro [m]	Coefficiente di sforzo [f]	S. 208
-26.58	0.223	0.269	0.261,8	18,4	-26,58	0,223	
-25,41	0.221	0.269	0.265,5	18,8	-25,41	0,221	
-22,2	0.218	0.269	0.265,9	18,8	-22,2	0,218	
-21,4	0.219	0.269	0.265,4	18,8	-21,4	0,219	
-21,4	0.221	0.269	0.265,5	18,8	-21,4	0,221	
-21,4	0.223	0.269	0.261,8	18,4	-21,4	0,223	
-11,62	7,94	0,87	0,261	11,41	-11,62	7,94	4
14,94	11,47	0,87	0,261	11,13	14,94	11,47	2
13,47	11,47	0,87	0,261	11,13	13,47	11,47	3
11,64	5,248	0,87	0,261	11,44	11,64	5,248	4
11,44	5,249	0,87	0,261	9,98	11,44	5,249	5
11,44	5,250	0,87	0,261	5,269	11,44	5,250	6
11,44	5,251	0,87	0,261	5,261	11,44	5,251	7
11,44	5,252	0,87	0,261	5,262	11,44	5,252	8
11,44	5,253	0,87	0,261	5,263	11,44	5,253	9
11,44	5,254	0,87	0,261	5,264	11,44	5,254	10
11,44	5,255	0,87	0,261	5,265	11,44	5,255	11
11,44	5,256	0,87	0,261	5,266	11,44	5,256	12
11,44	5,257	0,87	0,261	5,267	11,44	5,257	13
11,44	5,258	0,87	0,261	5,268	11,44	5,258	14
11,44	5,259	0,87	0,261	5,269	11,44	5,259	15
11,44	5,260	0,87	0,261	5,270	11,44	5,260	16
11,44	5,261	0,87	0,261	5,271	11,44	5,261	17
11,44	5,262	0,87	0,261	5,272	11,44	5,262	18
11,44	5,263	0,87	0,261	5,273	11,44	5,263	19
11,44	5,264	0,87	0,261	5,274	11,44	5,264	20
11,44	5,265	0,87	0,261	5,275	11,44	5,265	21
11,44	5,266	0,87	0,261	5,276	11,44	5,266	22
11,44	5,267	0,87	0,261	5,277	11,44	5,267	23
11,44	5,268	0,87	0,261	5,278	11,44	5,268	24
11,44	5,269	0,87	0,261	5,279	11,44	5,269	25
11,44	5,270	0,87	0,261	5,280	11,44	5,270	26
11,44	5,271	0,87	0,261	5,281	11,44	5,271	27
11,44	5,272	0,87	0,261	5,282	11,44	5,272	28
11,44	5,273	0,87	0,261	5,283	11,44	5,273	29
11,44	5,274	0,87	0,261	5,284	11,44	5,274	30
11,44	5,275	0,87	0,261	5,285	11,44	5,275	31
11,44	5,276	0,87	0,261	5,286	11,44	5,276	32
11,44	5,277	0,87	0,261	5,287	11,44	5,277	33
11,44	5,278	0,87	0,261	5,288	11,44	5,278	34
11,44	5,279	0,87	0,261	5,289	11,44	5,279	35
11,44	5,280	0,87	0,261	5,290	11,44	5,280	36
11,44	5,281	0,87	0,261	5,291	11,44	5,281	37
11,44	5,282	0,87	0,261	5,292	11,44	5,282	38
11,44	5,283	0,87	0,261	5,293	11,44	5,283	39
11,44	5,284	0,87	0,261	5,294	11,44	5,284	40
11,44	5,285	0,87	0,261	5,295	11,44	5,285	41
11,44	5,286	0,87	0,261	5,296	11,44	5,286	42
11,44	5,287	0,87	0,261	5,297	11,44	5,287	43
11,44	5,288	0,87	0,261	5,298	11,44	5,288	44
11,44	5,289	0,87	0,261	5,299	11,44	5,289	45
11,44	5,290	0,87	0,261	5,300	11,44	5,290	46
11,44	5,291	0,87	0,261	5,301	11,44	5,291	47
11,44	5,292	0,87	0,261	5,302	11,44	5,292	48
11,44	5,293	0,87	0,261	5,303	11,44	5,293	49
11,44	5,294	0,87	0,261	5,304	11,44	5,294	50
11,44	5,295	0,87	0,261	5,305	11,44	5,295	51
11,44	5,296	0,87	0,261	5,306	11,44	5,296	52
11,44	5,297	0,87	0,261	5,307	11,44	5,297	53
11,44	5,298	0,87	0,261	5,308	11,44	5,298	54
11,44	5,299	0,87	0,261	5,309	11,44	5,299	55
11,44	5,300	0,87	0,261	5,310	11,44	5,300	56
11,44	5,301	0,87	0,261	5,311	11,44	5,301	57
11,44	5,302	0,87	0,261	5,312	11,44	5,302	58
11,44	5,303	0,87	0,261	5,313	11,44	5,303	59
11,44	5,304	0,87	0,261	5,314	11,44	5,304	60
11,44	5,305	0,87	0,261	5,315	11,44	5,305	61
11,44	5,306	0,87	0,261	5,316	11,44	5,306	62
11,44	5,307	0,87	0,261	5,317	11,44	5,307	63
11,44	5,308	0,87	0,261	5,318	11,44	5,308	64
11,44	5,309	0,87	0,261	5,319	11,44	5,309	65
11,44	5,310	0,87	0,261	5,320	11,44	5,310	66
11,44	5,311	0,87	0,261	5,321	11,44	5,311	67
11,44	5,312	0,87	0,261	5,322	11,44	5,312	68
11,44	5,313	0,87	0,261	5,323	11,44	5,313	69
11,44	5,314	0,87	0,261	5,324	11,44	5,314	70
11,44	5,315	0,87	0,261	5,325	11,44	5,315	71
11,44	5,316	0,87	0,261	5,326	11,44	5,316	72
11,44	5,317	0,87	0,261	5,327	11,44	5,317	73
11,44	5,318	0,87	0,261	5,328	11,44	5,318	74
11,44	5,319	0,87	0,261	5,329	11,44	5,319	75
11,44	5,320	0,87	0,261	5,330	11,44	5,320	76
11,44	5,321	0,87	0,261	5,331	11,44	5,321	77
11,44	5,322	0,87	0,261	5,332	11,44	5,322	78
11,44	5,323	0,87	0,261	5,333	11,44	5,323	79
11,44	5,324	0,87	0,261	5,334	11,44	5,324	80
11,44	5,325	0,87	0,261	5,335	11,44	5,325	81
11,44	5,326	0,87	0,261	5,336	11,44	5,326	82
11,44	5,327	0,87	0,261	5,337	11,44	5,327	83
11,44	5,328	0,87	0,261	5,338	11,44	5,328	84
11,44	5,329	0,87	0,261	5,339	11,44	5,329	85
11,44	5,330	0,87	0,261	5,340	11,44	5,330	86
11,44	5,331	0,87	0,261	5,341	11,44	5,331	87
11,44	5,332	0,87	0,261	5,342	11,44	5,332	88
11,44	5,333	0,87	0,261	5,343	11,44	5,333	89
11,44	5,334	0,87	0,261	5,344	11,44	5,334	90
11,44	5,335	0,87	0,261	5,345	11,44	5,335	91
11,44	5,336	0,87	0,261	5,346	11,44	5,336	92
11,44	5,337	0,87	0,261	5,347	11,44	5,337	93
11,44	5,338	0,87	0,261	5,348	11,44	5,338	94
11,44	5,339	0,87	0,261	5,349	11,44	5,339	95
11,44	5,340	0,87	0,261	5,350	11,44	5,340	96
11,44	5,341	0,87	0,261	5,351	11,44	5,341	97
11,44	5,342	0,87	0,261	5,352	11,44	5,342	98
11,44	5,343	0,87	0,261	5,353	11,44	5,343	99
11,44	5,344	0,87	0,261	5,354	11,44	5,344	100
11,44	5,345	0,87	0,261	5,355	11,44	5,345	101
11,44	5,346	0,87	0,261	5,356	11,44	5,346	102
11,44	5,347	0,87	0,261	5,357	11,44	5,347	103
11,44	5,348	0,87	0,261	5,358	11,44	5,348	104
11,44	5,349	0,87	0,261	5,359	11,44	5,349	105
11,44	5,350	0,87	0,261	5,360	11,44	5,350	106
11,44	5,351	0,87	0,261	5,361	11,44	5,351	107
11,44	5,352	0,87	0,261	5,362	11,44	5,352	108
11,44	5,353	0,87	0,261	5,363	11,44	5,353	109
11,44	5,354	0,87	0,261	5,364	11,44	5,354	110
11,44	5,355	0,87	0,261	5,365	11,44	5,355	111
11,44	5,356	0,87	0,261	5,366	11,44	5,356	112
11,44	5,357	0,87	0,261	5,367	11,44	5,357	113
11,44	5,358	0,87	0,261	5,368	11,44	5,358	114
11,44	5,359	0,87	0,261	5,369	11,44	5,359	115
11,44	5,360	0,87	0,261	5,370	11,44	5,360	116
11,44	5,361	0,87	0,261	5,371	11,44	5,361	117
11,44	5,362	0,87	0,261	5,372	11,44	5,362	118
11,44	5,363	0,87	0,261	5,373	11,44	5,363	119
11,44	5,364	0,87	0,261	5,374	11,44	5,364	120
11,44	5,365	0,87	0,261	5,375	11,44	5,365	121
11,44	5,366	0,87	0,261	5,376	11,44	5,366	122
11,44	5,367	0,87	0,261	5,377	11,44	5,367	123
11,44	5,368	0,87	0,261	5,378	11,44	5,368	124
11,44	5,369	0,87	0,261	5,379	11,44	5,369	125
11,44	5,370	0,87	0,261	5,380	11,44	5,370	126
11,44	5,371	0,87	0,261	5,381	11,44	5,371	127
11,44	5,372	0,87					



CARATTERISTICHE DEGLI STRATTI					
1	Distruttore B	1828.0	0.25	18.00	0.40
2	Distruttore C	1828.0	0.25	18.00	0.40
3	Distruttore D	1828.0	0.25	18.00	0.40
4	Distruttore E	1828.0	0.25	18.00	0.40

Coefficiente di sicurezza minimo = 5.223

Si riportano i dati del cerchio critico che evidenzia un Coefficiente di Sicurezza:  $G_s = 5.23$

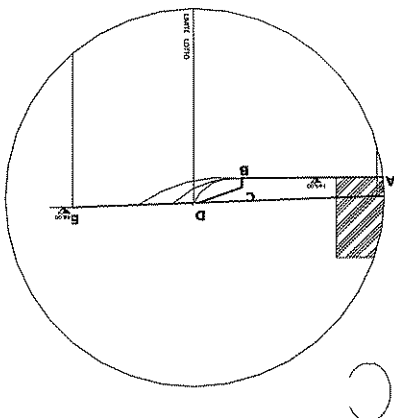
### 6.3 VERIFICA DI STABILITÀ SCARPATA "B" - POST OPERAM - Metodo di Bishop



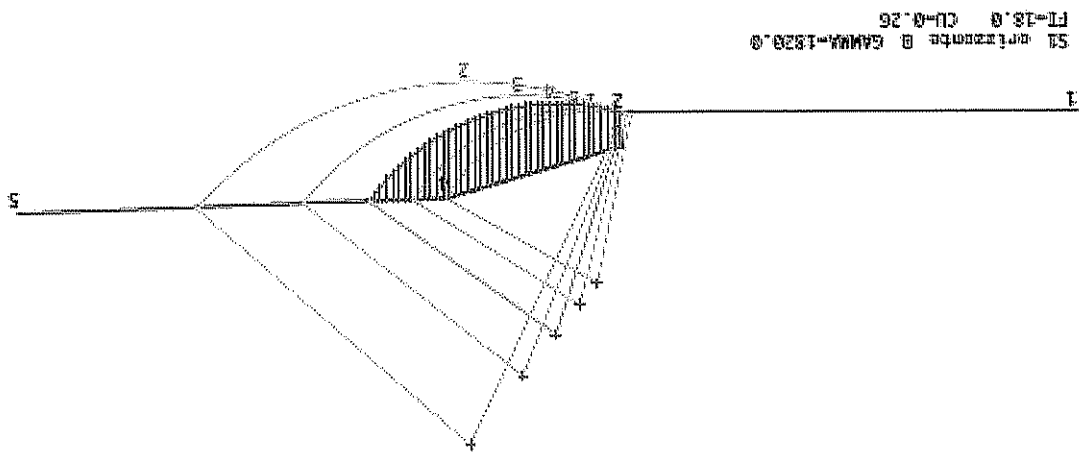
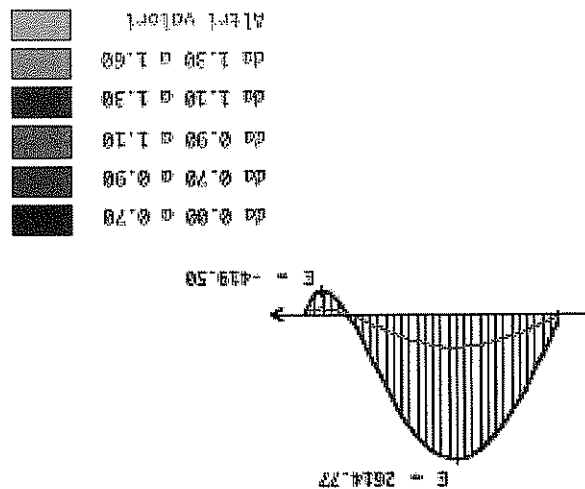
L'utensile di misura utilizzate lunghezza: m pressione: kg/cm<sup>2</sup>; peso specifico: kg/m<sup>3</sup>; forza

卷之二 一般概論

9814



## 7.0 VERIFICA STABILITA' - SBANCAMENTO POSIZIONE "C"

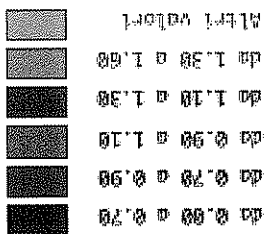


CARATTERISTICHE DEGLI STRALI						
Nome	Desenzelme	Gamm	CU	FI	Forstitea	Effettuazione di scorrimento milime - 4-48
J	altissimo	B	1828,9	8,26	18,88	0,48

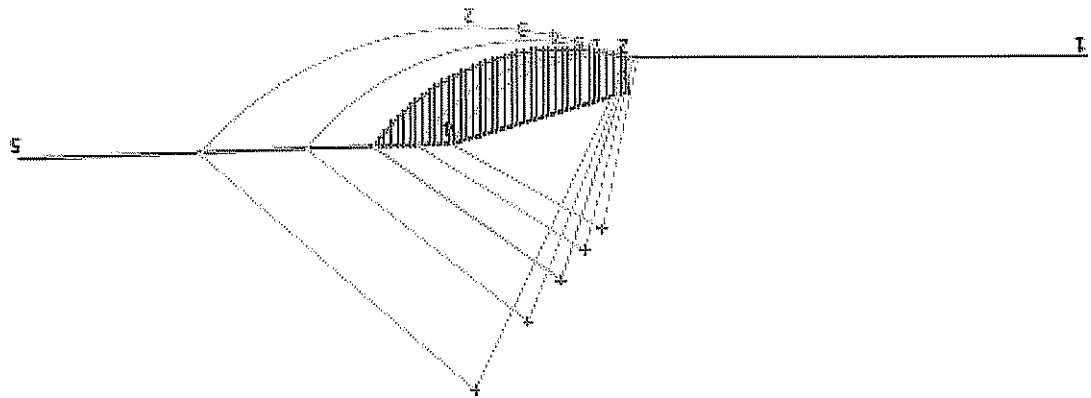
Si riportano i dati del cerchio critico che evidenzia un Coefficiente di Sicurezza:  $G_S = 4.40$ :

## 7.1 VERIFICA DI STABILITA' SCARPA TA "C" - POST OPERAM - Metodo di Janbu





SI articola sotto il GOMMA-1528.0  
 FT-18.0 CF-8.26



CARATTERISTICHE DEGLI STRUTTI				
Mm	Decorrenza	Gomma	CF	FT
3	arizzante G	1528.0	0.26	18.38
				0.40
				0.48
				0.56
				0.64
				0.72
				0.80
				0.88
				0.96
				1.04
				1.12
				1.20
				1.28
				1.36
				1.44
				1.52
				1.60
				1.68
				1.76
				1.84
				1.92
				2.00

Coefficiente di sicurezza minimo = 4.202

Si riportano i dati del cerchio critico che evidenzia un Coefficiente di Sicurezza: GS = 4.20:

7.2 VERIFICA DI STABILITÀ SCARPATA "C" - POST OPERAM - Metodo di Fellenius

Cantico	N	M51.m	kg/m <sup>2</sup>	M52.m	kg/m <sup>2</sup>	M53.m	kg/m <sup>2</sup>	T	T51.m	kg/m <sup>2</sup>	T52.m	kg/m <sup>2</sup>	T53.m	kg/m <sup>2</sup>
Z2471.6														
31	53.37	0.327	0.328	0.329	0.329	0.329	0.329	0.329	0.329	0.329	0.329	0.329	0.329	0.329
48	53.37	0.327	0.329	0.329	0.329	0.329	0.329	0.329	0.329	0.329	0.329	0.329	0.329	0.329
39	48.40	0.329	0.329	0.329	0.329	0.329	0.329	0.329	0.329	0.329	0.329	0.329	0.329	0.329
38	46.88	0.321	0.322	0.322	0.322	0.322	0.322	0.322	0.322	0.322	0.322	0.322	0.322	0.322
37	43.88	0.321	0.322	0.322	0.322	0.322	0.322	0.322	0.322	0.322	0.322	0.322	0.322	0.322
36	41.74	0.322	0.323	0.323	0.323	0.323	0.323	0.323	0.323	0.323	0.323	0.323	0.323	0.323
35	39.67	0.322	0.323	0.323	0.323	0.323	0.323	0.323	0.323	0.323	0.323	0.323	0.323	0.323
34	37.67	0.322	0.323	0.323	0.323	0.323	0.323	0.323	0.323	0.323	0.323	0.323	0.323	0.323
33	35.71	0.323	0.323	0.323	0.323	0.323	0.323	0.323	0.323	0.323	0.323	0.323	0.323	0.323
32	33.81	0.323	0.323	0.323	0.323	0.323	0.323	0.323	0.323	0.323	0.323	0.323	0.323	0.323
31	31.94	0.323	0.323	0.323	0.323	0.323	0.323	0.323	0.323	0.323	0.323	0.323	0.323	0.323
30	30.12	0.323	0.323	0.323	0.323	0.323	0.323	0.323	0.323	0.323	0.323	0.323	0.323	0.323
29	28.25	0.322	0.322	0.322	0.322	0.322	0.322	0.322	0.322	0.322	0.322	0.322	0.322	0.322
28	26.55	0.318	0.322	0.322	0.322	0.322	0.322	0.322	0.322	0.322	0.322	0.322	0.322	0.322
27	24.82	0.315	0.322	0.322	0.322	0.322	0.322	0.322	0.322	0.322	0.322	0.322	0.322	0.322
26	23.11	0.312	0.318	0.318	0.318	0.318	0.318	0.318	0.318	0.318	0.318	0.318	0.318	0.318
25	21.41	0.310	0.308	0.308	0.308	0.308	0.308	0.308	0.308	0.308	0.308	0.308	0.308	0.308
24	19.74	0.307	0.306	0.306	0.306	0.306	0.306	0.306	0.306	0.306	0.306	0.306	0.306	0.306
23	18.89	0.305	0.305	0.305	0.305	0.305	0.305	0.305	0.305	0.305	0.305	0.305	0.305	0.305
22	16.45	0.304	0.303	0.303	0.303	0.303	0.303	0.303	0.303	0.303	0.303	0.303	0.303	0.303
21	14.82	0.303	0.303	0.303	0.303	0.303	0.303	0.303	0.303	0.303	0.303	0.303	0.303	0.303
20	13.21	0.303	0.303	0.303	0.303	0.303	0.303	0.303	0.303	0.303	0.303	0.303	0.303	0.303
19	11.60	0.303	0.303	0.303	0.303	0.303	0.303	0.303	0.303	0.303	0.303	0.303	0.303	0.303
18	9.81	0.303	0.303	0.303	0.303	0.303	0.303	0.303	0.303	0.303	0.303	0.303	0.303	0.303
17	8.42	0.303	0.303	0.303	0.303	0.303	0.303	0.303	0.303	0.303	0.303	0.303	0.303	0.303
16	6.84	0.303	0.303	0.303	0.303	0.303	0.303	0.303	0.303	0.303	0.303	0.303	0.303	0.303
15	5.27	0.303	0.303	0.303	0.303	0.303	0.303	0.303	0.303	0.303	0.303	0.303	0.303	0.303
14	3.78	0.303	0.303	0.303	0.303	0.303	0.303	0.303	0.303	0.303	0.303	0.303	0.303	0.303
13	2.13	0.303	0.303	0.303	0.303	0.303	0.303	0.303	0.303	0.303	0.303	0.303	0.303	0.303
12	0.55	0.303	0.303	0.303	0.303	0.303	0.303	0.303	0.303	0.303	0.303	0.303	0.303	0.303
11	-0.09	0.303	0.303	0.303	0.303	0.303	0.303	0.303	0.303	0.303	0.303	0.303	0.303	0.303
10	-1.68	0.303	0.303	0.303	0.303	0.303	0.303	0.303	0.303	0.303	0.303	0.303	0.303	0.303
9	-3.25	0.303	0.303	0.303	0.303	0.303	0.303	0.303	0.303	0.303	0.303	0.303	0.303	0.303
8	-4.81	0.303	0.303	0.303	0.303	0.303	0.303	0.303	0.303	0.303	0.303	0.303	0.303	0.303
7	-6.37	0.303	0.303	0.303	0.303	0.303	0.303	0.303	0.303	0.303	0.303	0.303	0.303	0.303
6	-7.92	0.303	0.303	0.303	0.303	0.303	0.303	0.303	0.303	0.303	0.303	0.303	0.303	0.303
5	-9.45	0.303	0.303	0.303	0.303	0.303	0.303	0.303	0.303	0.303	0.303	0.303	0.303	0.303
4	-11.00	0.303	0.303	0.303	0.303	0.303	0.303	0.303	0.303	0.303	0.303	0.303	0.303	0.303
3	-12.55	0.303	0.303	0.303	0.303	0.303	0.303	0.303	0.303	0.303	0.303	0.303	0.303	0.303
2	-14.09	0.303	0.303	0.303	0.303	0.303	0.303	0.303	0.303	0.303	0.303	0.303	0.303	0.303
1	-15.62	0.303	0.303	0.303	0.303	0.303	0.303	0.303	0.303	0.303	0.303	0.303	0.303	0.303
-1	-16.99	0.303	0.303	0.303	0.303	0.303	0.303	0.303	0.303	0.303	0.303	0.303	0.303	0.303

Coefficiente di riferimento del cantico numero 1 -0.195

Lunghezza del cantico -0.195

Stabilità del cantico numero 1 -0.202

Coefficiente di riferimento del cantico numero 2 -0.195

Lunghezza del cantico -0.195

Stabilità del cantico numero 2 -0.202

Coefficiente di riferimento del cantico numero 3 -0.195

Lunghezza del cantico -0.195

Stabilità del cantico numero 3 -0.202

Coefficiente di riferimento del cantico numero 4 -0.195

Lunghezza del cantico -0.195

Stabilità del cantico numero 4 -0.202

Coefficiente di riferimento del cantico numero 5 -0.195

Lunghezza del cantico -0.195

Stabilità del cantico numero 5 -0.202

Coefficiente di riferimento del cantico numero 6 -0.195

Lunghezza del cantico -0.195

Stabilità del cantico numero 6 -0.202

Coefficiente di riferimento del cantico numero 7 -0.195

Lunghezza del cantico -0.195

Stabilità del cantico numero 7 -0.202

Coefficiente di riferimento del cantico numero 8 -0.195

Lunghezza del cantico -0.195

Stabilità del cantico numero 8 -0.202

Coefficiente di riferimento del cantico numero 9 -0.195

Lunghezza del cantico -0.195

Stabilità del cantico numero 9 -0.202

Coefficiente di riferimento del cantico numero 10 -0.195

Lunghezza del cantico -0.195

Stabilità del cantico numero 10 -0.202

Coefficiente di riferimento del cantico numero 11 -0.195

Lunghezza del cantico -0.195

Stabilità del cantico numero 11 -0.202

Coefficiente di riferimento del cantico numero 12 -0.195

Lunghezza del cantico -0.195

Stabilità del cantico numero 12 -0.202

Coefficiente di riferimento del cantico numero 13 -0.195

Lunghezza del cantico -0.195

Stabilità del cantico numero 13 -0.202

Coefficiente di riferimento del cantico numero 14 -0.195

Lunghezza del cantico -0.195

Stabilità del cantico numero 14 -0.202

Coefficiente di riferimento del cantico numero 15 -0.195

Lunghezza del cantico -0.195

Stabilità del cantico numero 15 -0.202

Coefficiente di riferimento del cantico numero 16 -0.195

Lunghezza del cantico -0.195

Stabilità del cantico numero 16 -0.202

Coefficiente di riferimento del cantico numero 17 -0.195

Lunghezza del cantico -0.195

Stabilità del cantico numero 17 -0.202

Coefficiente di riferimento del cantico numero 18 -0.195

Lunghezza del cantico -0.195

Stabilità del cantico numero 18 -0.202

Coefficiente di riferimento del cantico numero 19 -0.195

Lunghezza del cantico -0.195

Stabilità del cantico numero 19 -0.202

Coefficiente di riferimento del cantico numero 20 -0.195

Lunghezza del cantico -0.195

Stabilità del cantico numero 20 -0.202

Coefficiente di riferimento del cantico numero 21 -0.195

Lunghezza del cantico -0.195

Stabilità del cantico numero 21 -0.202

Coefficiente di riferimento del cantico numero 22 -0.195

Lunghezza del cantico -0.195

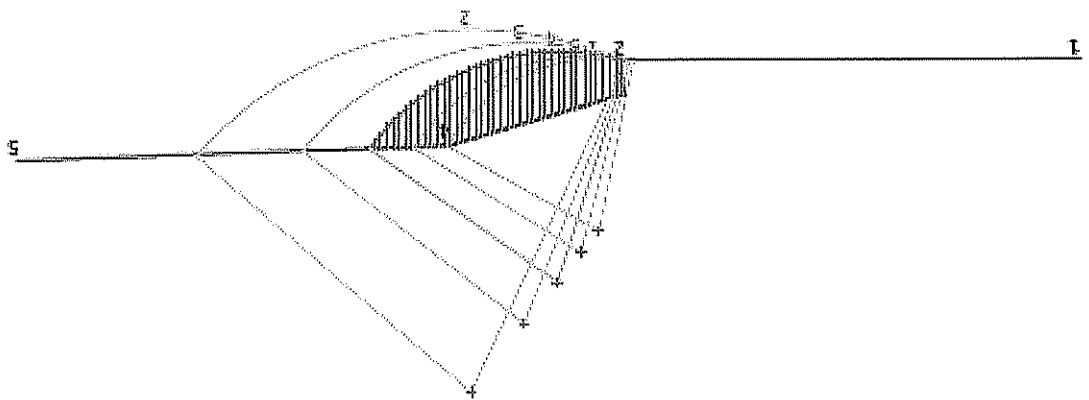
Stabilità del cantico numero 22 -0.202

Coefficiente di riferimento del cantico numero 23 -0.195

</

	Altezza valori
	da 1,30 a 1,60
	da 1,10 a 1,30
	da 0,90 a 1,10
	da 0,70 a 0,90
	da 0,50 a 0,70

SI ottiene la seguente tabella:



CARATTERISTICHE DEGLI STRATTI				
Natura	Diametrale	Quando	Esempio	Permetta
SI	ottieniamo	183,8	18,99	0,48

L'efficienza di sicurezza minima = 4,283

Si riportano i dati del cerchio critico che evidenzia un Coefficiente di Sicurezza:  $G_s = 4,20$

### 7.3 VERIFICA DI STABILITÀ SCARPATA "C" - POST OPERAM - Metodo di Bishop

## VERIFICA STABILITÀ DEI PENDI

## RISULTATI

RISULTATO effettuato con il metodo di Dischop  
RISULTATO effettuato con il metodo di Dischop

num X centro Y centro Raggio f Site Carico

num X centro Y centro Raggio f Site Carico

CERCHIO CIRITICO N. 4  
Lanugheroso del canale 1.000.000

Numeri interazionali = 4.284  
Numeri interazionali = 4.284

Percentuali incremento = 0.00126

Z447.6

1

41

40

39

38

37

36

35

34

33

32

31

30

29

28

27

26

25

24

23

22

21

1

1

1

1

1

1

1

1

1

1

1

1

1

1

1

1

1

1

1

1

1

1

1

1

1

1

1

1

1

1

1

1

1

1

1

1

1

1

1

1

1

1

1

1

1

1

1

1

1

1

1

1

1

1

1

1

1

1

1

1

1

1

1

1

1

1

1

1

1

1

1

1

1

1

1

1

1

1

1

1

1

1

1

1

1

1

1

1

1

1

1

1

1

1

1

1

1

1

1

1

1

1

1

1

1

1

1

1

1

1

1

1

1

1

1

1

1

1

1

1

1

1

1

1

1

1

1

1

1

1

1

1

1

1

1

1

1

1

1

1

1

1

1

1

1

1

1

1

1

1

1

1

1

1

1

1

1

1

1

1

1

1

1

1

1

&lt;p

che presenta una sezione di deflusso idonea allo smaltimento della portata di massima piena.

Con elaborato a parte si produce verifica idraulica del foso ricevitore delle acque provenienti dall'area di lotizzazione

#### 9.0 VERIFICA IDRUAUTICA DEL FOSO RICEVITORE DELLE ACQUE PROVENIENTI DALL'AREA IN STUDIO

La direzione lavori valuterà la possibilità di procedere con la cementazione e/o calcificazione dei terreni riportati.

si raccomanda di studiare la relativa umidità ottimale.

I materiali di riporto andranno rullati fino al raggiungimento della densità ottima densità ottima (Proctor) ed a tal fine

terrosi secondo strati di spessore 15,0 cm.

I riporti avranno inizio con l'asportazione della copertura vegetale ed avverranno tramite lo stendimento dei materiali

smaltire le acque di precipitazione e diluvianti.

In testa alla scarpa ed al piede della medesima dovrà essere sempre presente un foso di guardia teso a racogliere e

poterla utilizzare in fase di sistemazione finale (in questo modo si favorirà l'infiltrazione della scarpa).

In apertura dei lavori si avrà l'accortezza di asportare la copertura vegetale, accantonandola a lato del cantiere, per

sagomature finali della scarpa.

Le operazioni di sbancamento e sistemazione finale delle scarpate saranno condotte in parallelo: dopo aver creato un adeguato spazio di lavoro, mentre da un lato si procederà con le asportazioni, dall'altro si porteranno a termine le

e/o i riporti.

In cantiere saranno presenti telì impermeabili da utilizzarsi in occasione di eventi piovosi, per coprire le pareti di taglio

Tutte le operazioni di sbancamento e riporto dovranno avvenire in periodi di scarse precipitazioni.

#### 8.0 MODALITA', ESECUTIVE DI SBANCAMENTI E RIPORTI

Da quanto sopra le scarpate risultano stabili.

SCARPA	Metodo	Coefficiente di Sicurezza
C	Bishop	GS = 4,20
C	Fellenius	GS = 4,20
C	Janbu	GS = 4,40
B	Bishop	GS = 5,23
B	Fellenius	GS = 5,20
B	Janbu	GS = 5,47
A	Bishop	GS = 4,34
A	Fellenius	GS = 4,24
A	Janbu	GS = 4,45

cerchio, si ricavano i seguenti coefficienti di stabilità:

Dall'elaborazione delle superfici di slittamento in corrispondenza delle scarpate: A, B e C, rappresentate da archi di

Dai fattori di stabilità ottenuti dalle diverse metodologie e dalle diverse situazioni prese in esame si escludono situazioni di instabilità dell'intero versante nelle diverse fasi di programmazione e realizzazione dei lavori.

In definitiva le verifiche condotte fanno ritenere gli interventi di progetto compatibili con le caratteristiche geologiche e geotecniche del terreno interessati.

In definitiva le verifiche condotte fanno ritenere gli interventi di progetto compatibili con le caratteristiche geologiche

OPERAZIONE	MESI	G	F	M	A	M	G	L	A	S	O	N	D
PERIODO CICLI DI MANUTENZIONE													
STATO CONSERVAZIONE - anomalie				x					x				
DECESPOLIGLAMMENTO				x					x				
PULIZIA CANALLETTE										x			

periodica annuale.

A seguire si riporta una scheda riprogettuata che si ritiene utile ai fini della programmazione della manutenzione

Per le opere idrauliche si dovrà verificare l'efficienza.

Praticare le cure colturali del caso.

Per le opere a verde (semine e piantumazioni) si dovrà provvedere annualmente a verificare l'attaccamento e

- opere di drenaggio

- opere a verde

caratterizzate per tipologia di lavoro:

A tal fine si predisponde un piano di manutenzione delle opere, composto essenzialmente da parti distinte

canalizzazioni) in un buon stato di manutenzione periodica.

Durante l'esecuzione delle opere, tutta l'area andrà sottoposta alle ordinarie opere di manutenzione, mentre a  
urbanizzazioni ultimata si dovranno mantenere tutte le opere di raccolta delle acque superficiali (cunette e  
contropenenze).

Particolare cura andrà posta su tutta l'area affinché non si verifichino condizioni di rischio idrico e/o

f) Realizzare muri di contenimento adeguati a sostenere la spinta del terreno.

molti sviluppati,

e) Formare tappe erbose atti a limitare l'infiltrazione nel sottosuolo - con esseenze aventi un apparato radicale

d) Impremanabilizzare strade e piazze di servizio,

c) Eseguire la rete fognaria a preferita regola d'arte,

b) Canalizzare le acque meteoriche e dilavanti tramite condotte a tenuta stagna,

a) Plantumare i resedì con specie arboree fittonanti,

Per garantire una ottima gestione del sito si consiglia:

possiedono rassicuranti condizioni statiche.

Anche le scarpane conseguenti alle opere di spaltamento - presidiate da adeguate opere di contenimento -

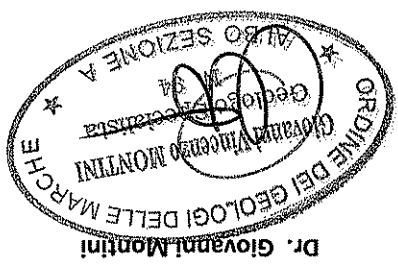
significativo incremento in quanto le strutture con il loro peso si oppongono alle forze agenti.

La realizzazione delle opere edilizie non comporta aggregati in ordine alle condizioni statiche, anzi ne produce un

i coefficienti di sicurezza ante opera sono sempre superiori a:  $G_s = 3.5$

Le verifiche di stabilità condotte hanno confermato le buone condizioni statiche dell'area di lotizzazione.

## 10.0 CONSIDERAZIONI CONCLOSIVE



Il Geologo

Urbino, il 16 Novembre 2009.

criteri della Geotecnica.

In merito ai tagli che verranno eseguiti per la predisposizione dei piani di impostazione dei fabbricati si suggerisce la realizzazione di opere di contenimento (muretti) atti a contrastare la spinta dei terreni, da dimensionarsi tramite i criteri della Geotecnica.